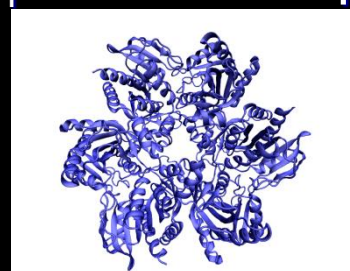


MD – PNP

PRIMJER POTVRDE REZULTATA MD SIMULACIJA EKSPERIMENTIMA

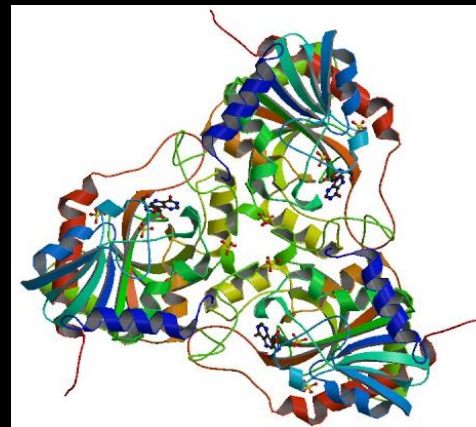
Heksamer vs. dimer - purinska nukleozidna
fosforilaza (PNP) iz bakterije *E. coli*

- sudjeluje u pomoćnom metaboličkom putu purina:



purinska nukleozidna fosforilaza ~ PNP

- humani PNP je trimer:



Zašto heksamer, a ne dimer?

(ili kako razbiti heksamer u tri dimera)

- nema kooperativnosti, evolucijski je preferiran trimerni oblik, ...

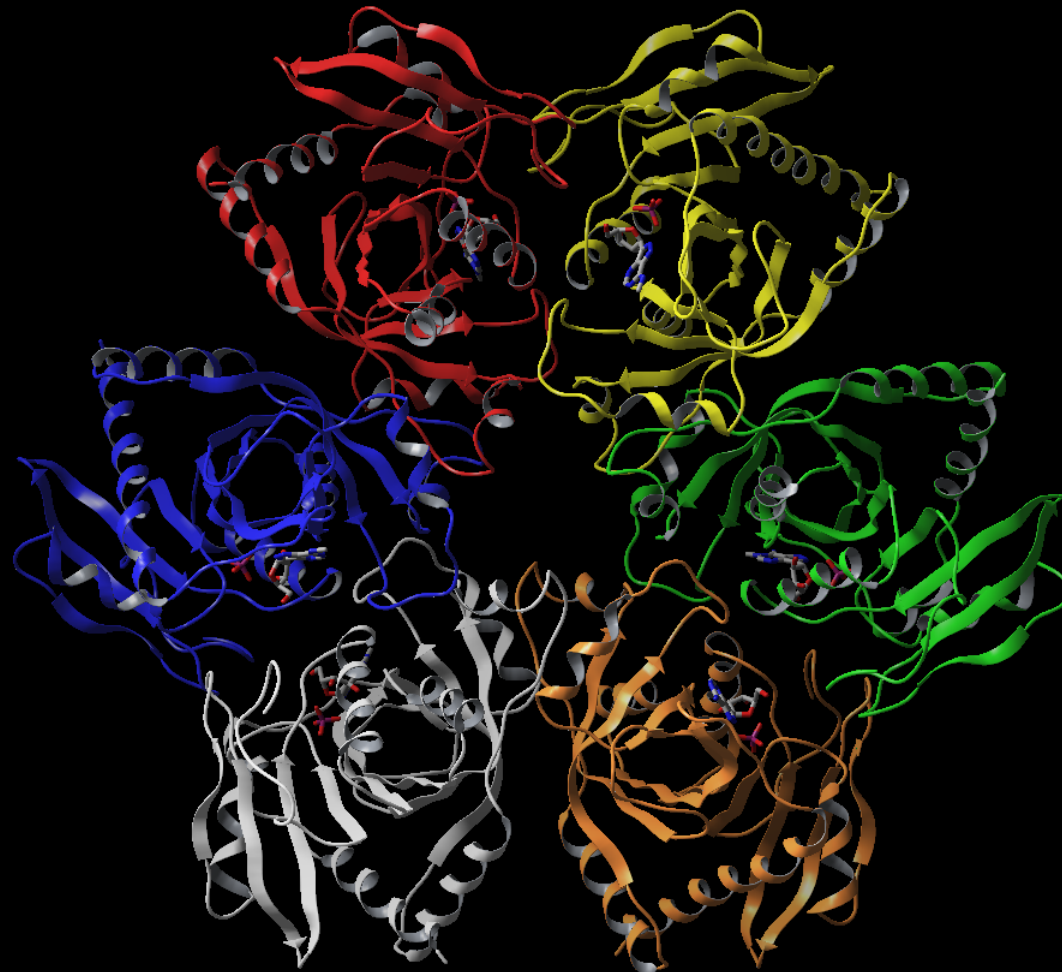
APO-PNP: 1ECP

(C.MAO,W.J.COOK,M.ZHOU,G.W.KOSZALKA,T.A.KRENITSKY, S.E.EALICK.
STRUCTURE 5 1373 1997; RESOLUTION: 2.00 Å)

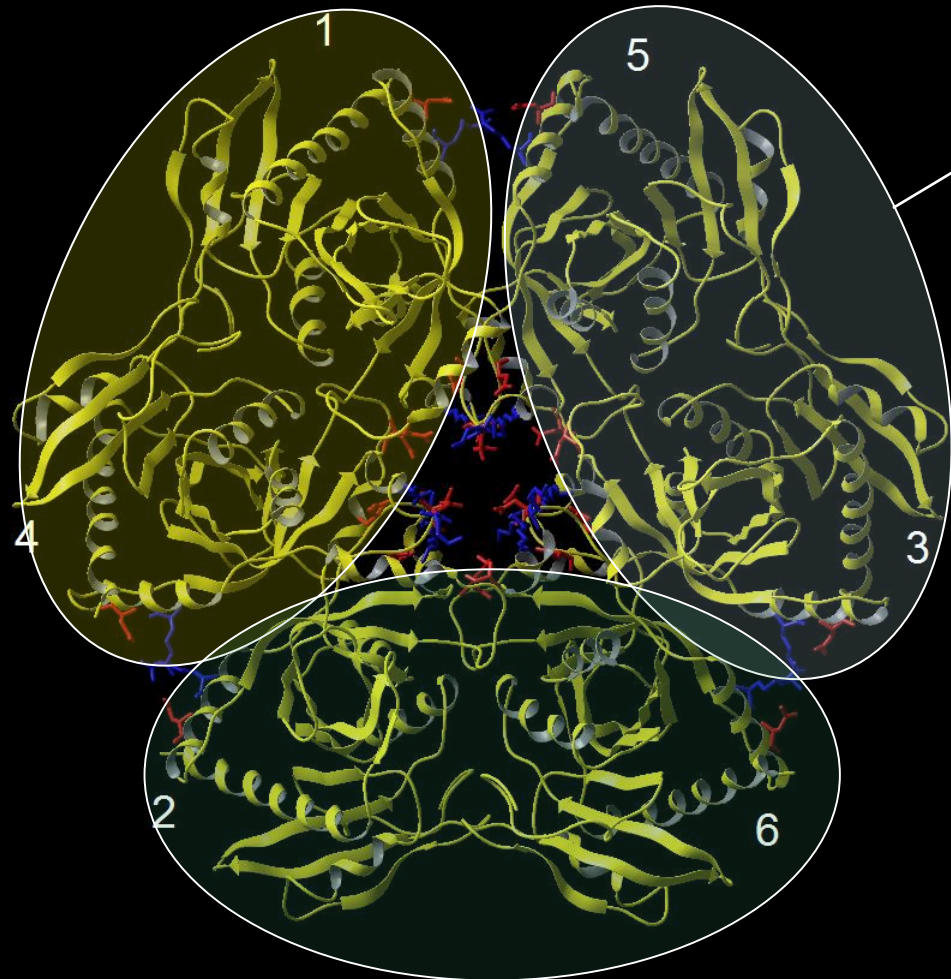


AMM-PNP: 1K9S

(G.KOELLNER,A.BZOWSKA,B.WIELGUS-KUTROWSKA,M.LUIC,
T.STEINER,W.SAENGER,J.STEPINSKI *J.MOL.BIOL.* **315**, 351. 2002;
RESOLUTION: 2.00 Å)

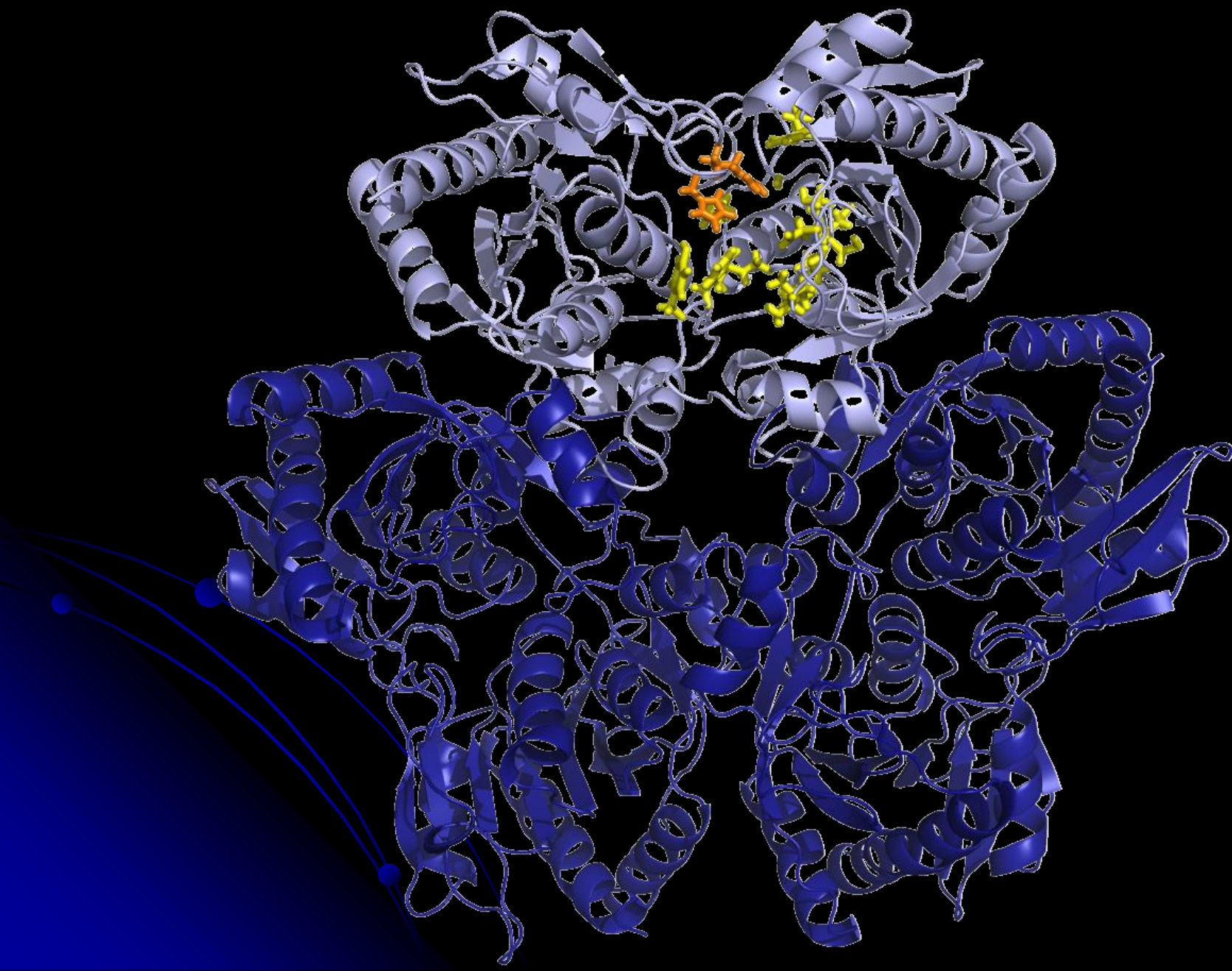


PNP protein



- nema kooperativnosti između podjedinica u heksameru,
evolucijski je preferiran trimerni oblik, ...

PNP protein

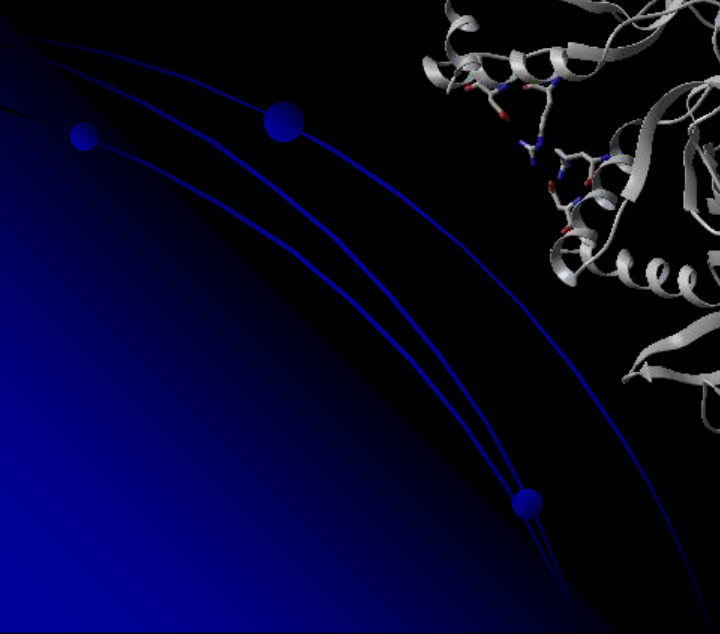
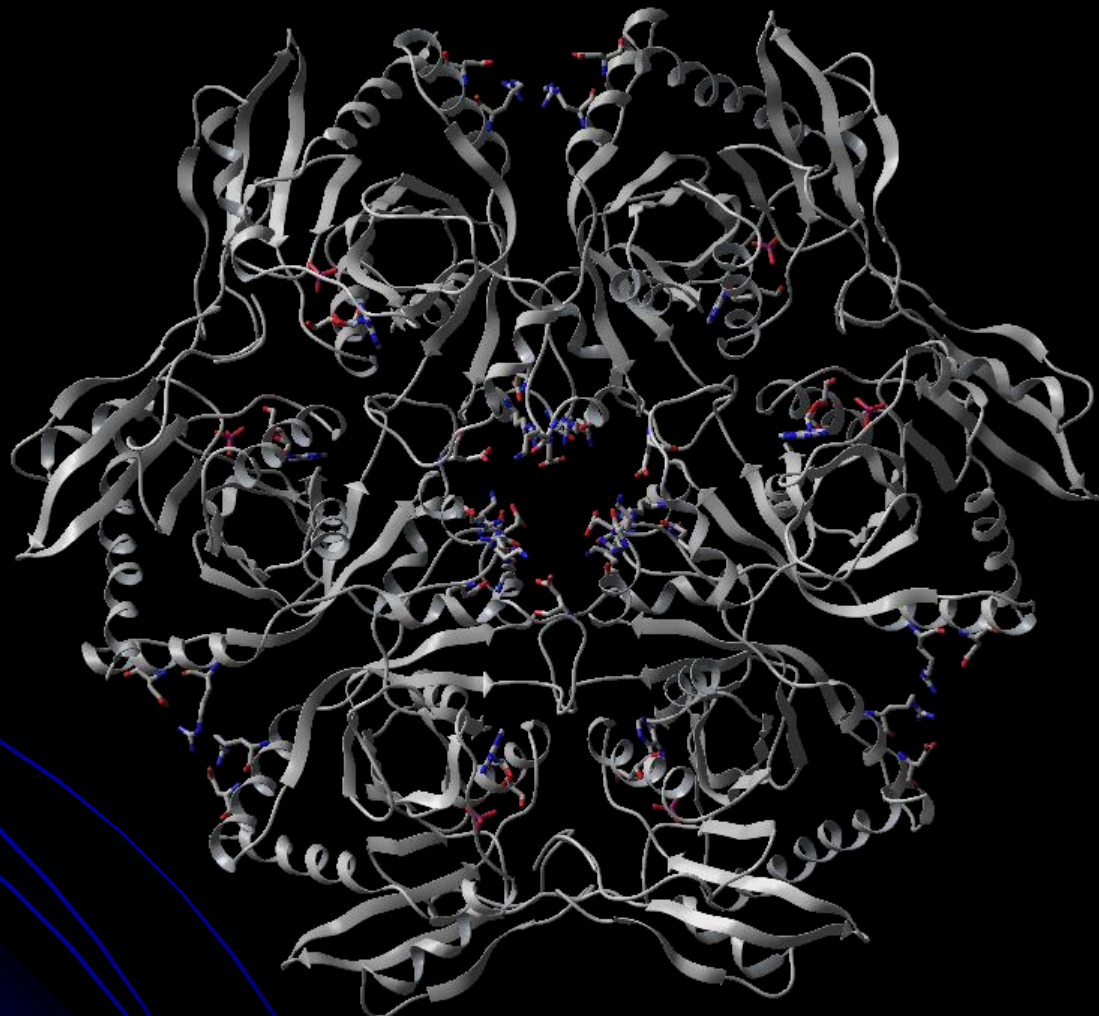


Zašto heksamer, a ne dimer?

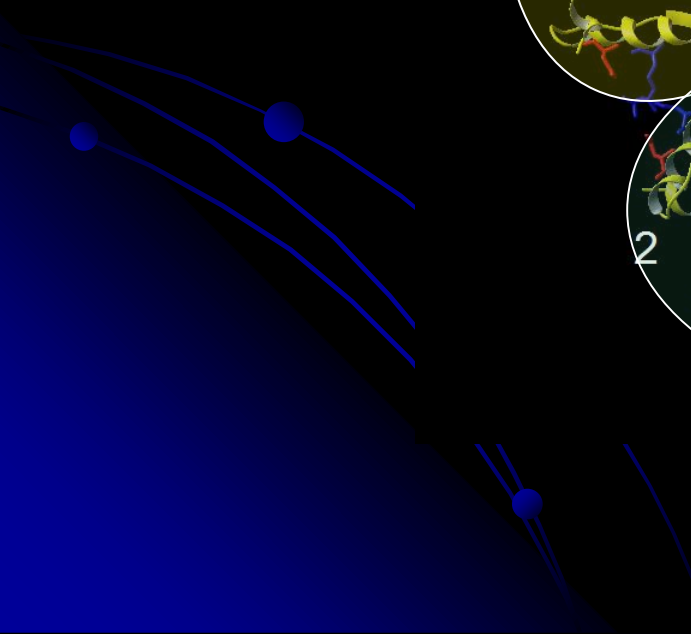
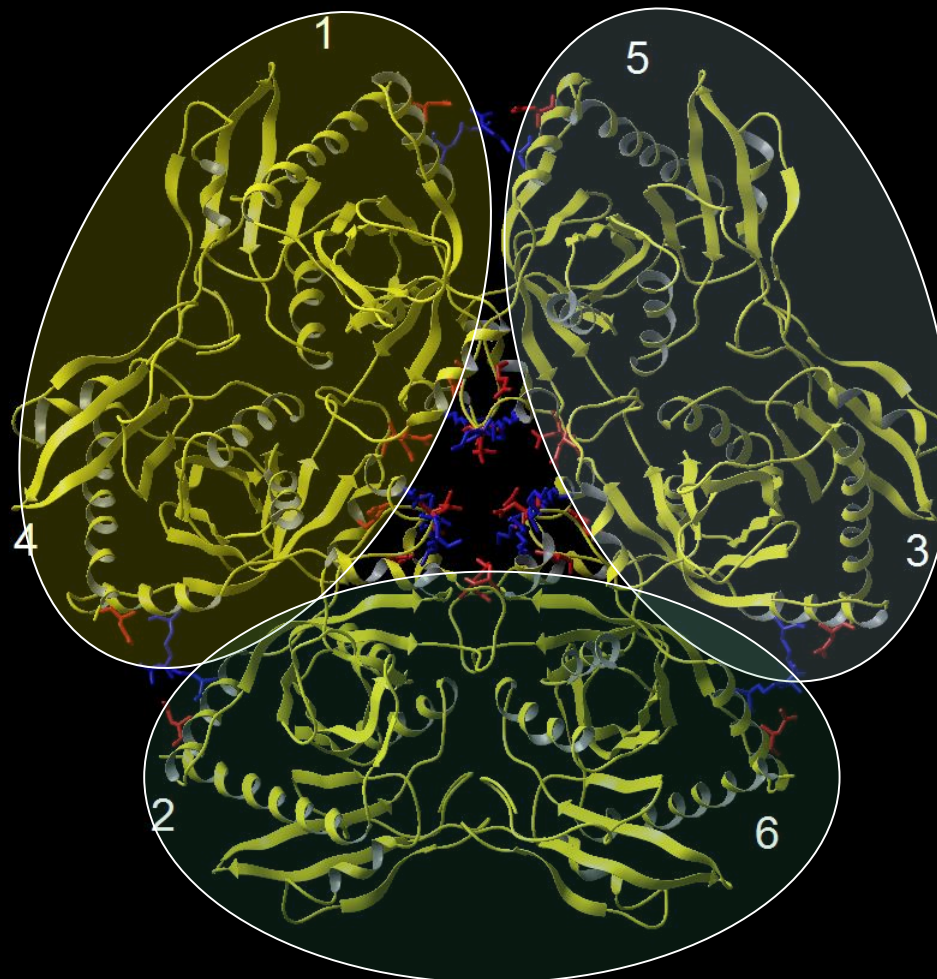
(ili kako razbiti heksamer u tri dimera)

CILJ: POKUŠATI PRONAĆI MUTACIJE KOJE BI HEKSAMER RAZBILE NA TRI DIMERA (PO MOGUĆNOSTI NA DIMERE KOJI SU KATALITIČKI AKTIVNI).

PNP protein



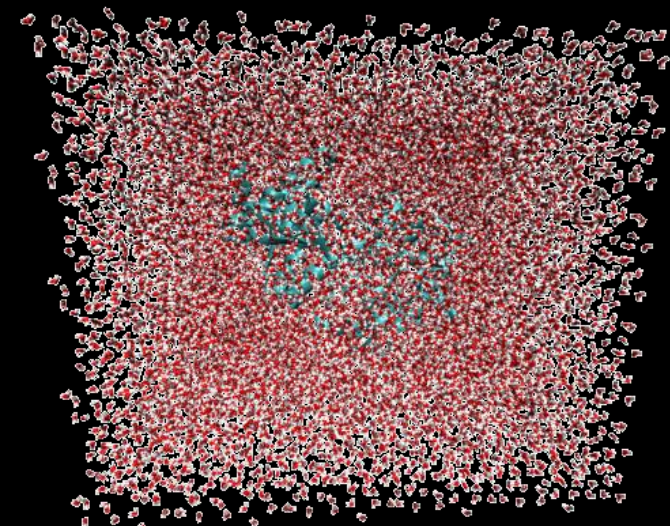
PNP protein



METODE:

računalne metode temeljenje na polju sila:

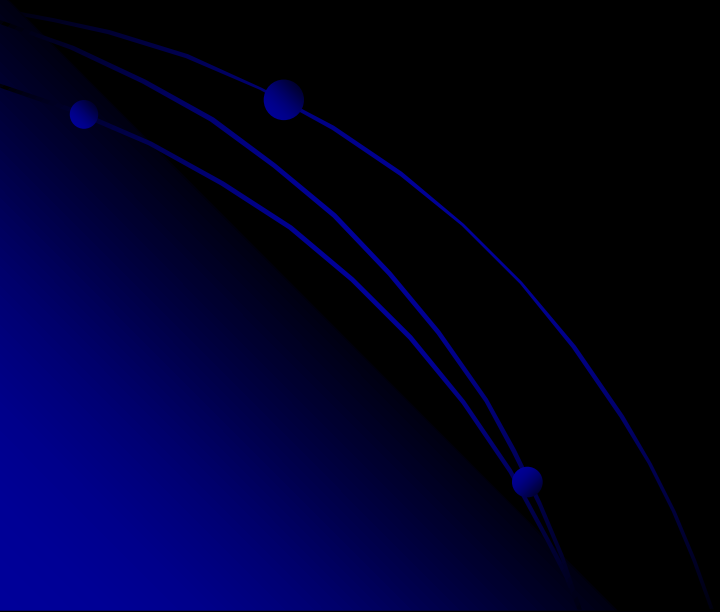
- molekularna mehanika – *anal* modul Amber 8 paketa, serveri (PISA, PPI, ...)
- molekularna dinamika
- kristalne strukture – PDB kodovi: 1ECP, 1K9S
- polarni vodici dodani programom WHATIF
- amber ff03 polje sila, parametrizacija supstrata
- periodični uvjeti, eksplicitno prisutno otapalo
- oko 185 000 atoma



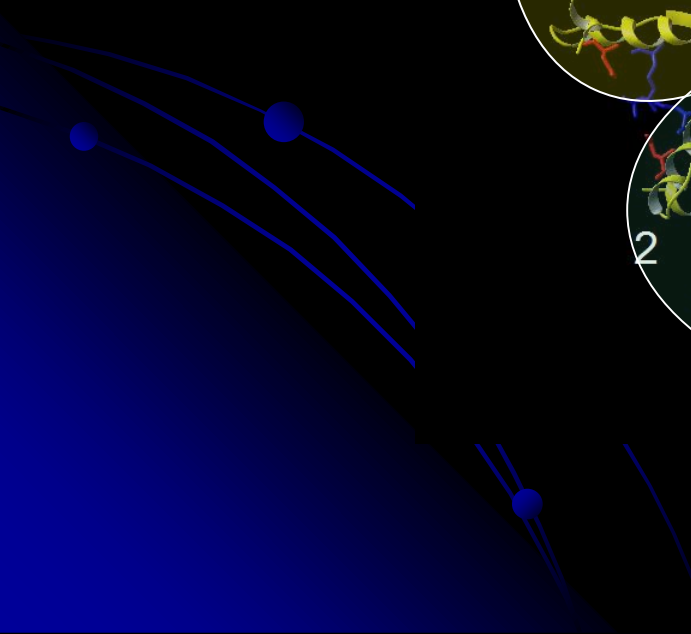
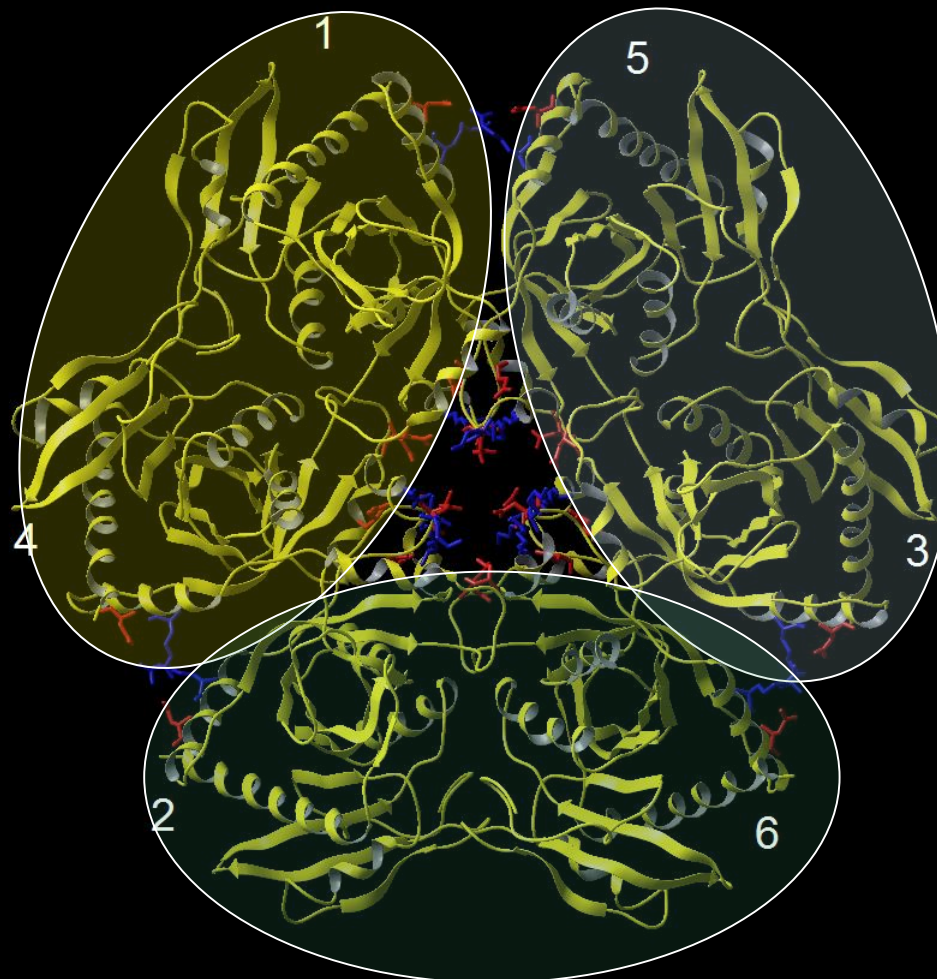
Pripremili i pokrenuli MD simulacije:

1. WT – APO **HEKSAMER** I **DIMER**
2. WT – **HEKSAMER** I **DIMER** SA “SUPSTRATIMA” (NUKLEOZID I FOSFAT)

- u međuvremenu, molekularnom mehanikom istraživali interakcije između dimera u heksameru



PNP protein



VDW (N-B + 1-4) INTERACTION ENERGY MATRIX

	1	2	3	4	5	6	7	8	9	10
1	1.062	-1.201	-0.355	-0.089	-1.194	-0.950	-0.130	0.772	-0.124	-0.010
2	-1.201	3.211	0.560	-1.380	-3.057	-0.523	-0.321	-0.153	-0.055	-0.006
3	-0.355	0.560	0.105	-1.256	-0.917	-0.132	-0.032	-0.017	0.000	0.000
4	-0.089	-1.380	-1.256	0.362	0.767	-0.444	-0.062	-0.014	0.000	0.000
5	-1.194	-3.057	-0.917	0.767	2.990	-0.949	-0.859	-0.221	-0.057	-0.015
6	-0.950	-0.523	-0.132	-0.444	-0.949	1.163	-0.322	-0.313	-0.024	0.000
7	-0.130	-0.321	-0.032	-0.062	-0.859	-0.322	1.202	-0.297	-0.295	-0.061
8	0.772	-0.153	-0.017	-0.014	-0.221	-0.313	-0.297	1.707	-0.192	-0.806
9	-0.124	-0.055	0.000	0.000	-0.057	-0.024	-0.295	-0.192	0.085	0.525
10	-0.010	-0.006	0.000	0.000	-0.015	0.000	-0.061	-0.806	-0.525	-0.025
11	-0.038	-0.019	0.000	0.000	-0.117	-0.131	-0.926	-0.514	-0.912	0.593
12	-0.029	-0.052	0.000	-0.044	-1.232	-0.108	-0.695	-0.381	-0.368	-1.378
13	0.000	0.000	0.000	0.000	-0.011	0.000	-0.008	-0.016	-0.047	-0.165
14	0.000	0.000	0.000	0.000	0.000	0.000	0.000	0.000	-0.028	-0.029
15	0.000	0.000	0.000	0.000	0.000	0.000	0.000	0.000	-0.009	-0.010
16	0.000	0.000	0.000	0.000	-0.045	0.000	-0.007	0.000	-0.009	-0.009
17	0.000	0.000	0.000	0.000	0.000	0.000	0.000	0.000	0.000	0.000
18	0.000	-0.006	0.000	-0.021	-0.058	0.000	0.000	0.000	0.000	0.000
19	0.000	0.000	0.000	0.000	0.000	0.000	0.000	0.000	0.000	0.000
20	0.000	0.000	0.000	0.000	0.000	0.000	0.000	0.000	0.000	0.000
21	0.000	0.000	0.000	0.000	0.000	0.000	0.000	0.000	0.000	0.000
22	0.000	0.000	0.000	-0.009	0.000	0.000	0.000	0.000	0.000	0.000
23	0.000	0.000	0.000	0.000	0.000	0.000	0.000	0.000	0.000	0.000
24	0.000	0.000	0.000	0.000	0.000	0.000	0.000	0.000	0.000	0.000
25	0.000	0.000	0.000	0.000	0.000	0.000	0.000	0.000	0.000	0.000
26	0.000	0.000	0.000	0.000	0.000	0.000	0.000	0.000	0.000	0.000
27	0.000	0.000	0.000	0.000	0.000	0.000	0.000	0.000	0.000	0.000
28	0.000	0.000	0.000	0.000	0.000	0.000	0.000	0.000	0.000	0.000
29	0.000	0.000	0.000	0.000	0.000	0.000	0.000	0.000	0.000	0.000
30	0.000	0.000	0.000	0.000	0.000	0.000	0.000	0.000	0.000	0.000
31	0.000	0.000	0.000	0.000	0.000	0.000	0.000	0.000	0.000	0.000
32	0.000	0.000	0.000	0.000	0.000	0.000	0.000	0.000	0.000	0.000
33	0.000	0.000	0.000	0.000	0.000	0.000	0.000	0.000	0.000	0.000
34	0.000	0.000	0.000	0.000	0.000	0.000	0.000	0.000	0.000	0.000
35	0.000	0.000	0.000	0.000	0.000	0.000	0.000	0.000	0.000	0.000
36	0.000	0.000	0.000	0.000	0.000	0.000	0.000	0.000	0.000	0.000
37	0.000	0.000	0.000	0.000	-0.016	-0.037	-0.072	-0.061	-0.021	-0.088
38	0.000	0.000	0.000	0.000	-0.026	-0.131	-0.047	-0.014	0.000	-0.007
39	-0.020	-0.017	0.000	-0.022	-0.293	-0.859	-0.758	-0.131	-0.031	-0.067
40	-0.038	-0.087	-0.044	-0.822	-2.135	-2.214	-0.728	-0.047	-0.012	-0.008
41	-0.011	-0.018	-0.019	-0.114	-0.174	-1.909	-0.067	-0.010	0.000	0.000
42	-0.039	-0.162	-0.373	-1.443	-1.305	-1.162	-0.076	-0.011	0.000	0.000

ELECTROSTATIC (N-B + 1-4) INTERACTION ENERGY MATRIX

	1	2	3	4	5	6	7	8	9	10
1	-1.394	-8.700	-0.274	0.699	-5.273	1.640	-10.847	-30.944	0.482	0.190
2	-8.700	-1.686	-0.027	2.230	-4.659	-0.040	0.258	0.778	-0.006	-0.017
3	-0.274	-0.027	2.392	-6.191	0.241	0.009	0.025	0.017	0.000	0.000
4	0.699	2.230	-6.191	5.640	-5.811	-0.107	-0.017	-0.225	0.000	0.000
5	-5.273	-4.659	0.241	-5.811	5.060	-7.201	0.121	0.686	-0.010	-0.001
6	1.640	-0.040	0.009	-0.107	-7.201	-27.527	-9.151	-0.578	0.002	0.000
7	-10.847	0.258	0.025	-0.017	0.121	-9.151	8.785	-5.615	-0.251	0.123
8	-30.944	0.778	0.017	-0.225	0.686	-0.578	-5.615	6.740	-8.672	-1.123
9	0.482	-0.006	0.000	0.000	-0.010	0.002	-0.251	-8.672	7.210	-4.382
10	0.190	-0.017	0.000	0.000	-0.001	0.000	0.123	-1.123	-4.382	5.607
11	-4.447	0.329	0.000	0.000	-0.026	-0.353	-5.047	-4.181	0.860	-8.442
12	0.105	-0.023	0.000	-0.030	0.075	0.037	0.177	-0.368	0.095	0.637
13	0.000	0.000	0.000	0.000	-0.006	0.000	-0.026	0.165	-0.078	-0.067
14	0.000	0.000	0.000	0.000	0.000	0.000	0.000	0.000	-0.029	0.073
15	0.000	0.000	0.000	0.000	0.000	0.000	0.000	0.000	0.000	0.015
16	0.000	0.000	0.000	0.000	0.010	0.000	0.009	0.000	0.003	0.002
17	0.000	0.000	0.000	0.000	0.000	0.000	0.000	0.000	0.000	0.000
18	0.000	-0.009	0.000	-0.041	0.015	0.000	0.000	0.000	0.000	0.000
19	0.000	0.000	0.000	0.000	0.000	0.000	0.000	0.000	0.000	0.000
20	0.000	0.000	0.000	0.000	0.000	0.000	0.000	0.000	0.000	0.000
21	0.000	0.000	0.000	0.000	0.000	0.000	0.000	0.000	0.000	0.000
22	0.000	0.000	0.000	-0.014	0.000	0.000	0.000	0.000	0.000	0.000
23	0.000	0.000	0.000	0.000	0.000	0.000	0.000	0.000	0.000	0.000
24	0.000	0.000	0.000	0.000	0.000	0.000	0.000	0.000	0.000	0.000
25	0.000	0.000	0.000	0.000	0.000	0.000	0.000	0.000	0.000	0.000
26	0.000	0.000	0.000	0.000	0.000	0.000	0.000	0.000	0.000	0.000
27	0.000	0.000	0.000	0.000	0.000	0.000	0.000	0.000	0.000	0.000
28	0.000	0.000	0.000	0.000	0.000	0.000	0.000	0.000	0.000	0.000
29	0.000	0.000	0.000	0.000	0.000	0.000	0.000	0.000	0.000	0.000
30	0.000	0.000	0.000	0.000	0.000	0.000	0.000	0.000	0.000	0.000
31	0.000	0.000	0.000	0.000	0.000	0.000	0.000	0.000	0.000	0.000
32	0.000	0.000	0.000	0.000	0.000	0.000	0.000	0.000	0.000	0.000
33	0.000	0.000	0.000	0.000	0.000	0.000	0.000	0.000	0.000	0.000
34	0.000	0.000	0.000	0.000	0.000	0.000	0.000	0.000	0.000	0.000
35	0.000	0.000	0.000	0.000	0.000	0.000	0.000	0.000	0.000	0.000
36	0.000	0.000	0.000	0.000	0.000	0.000	0.000	0.000	0.000	0.000
37	0.000	0.000	0.000	0.093	0.242	0.770	-2.858	-0.209	-0.131	
38	0.000	0.000	0.000	-0.179	-0.073	-0.119	1.402	0.000	0.003	
39	-0.448	0.062	0.000	-0.041	-0.127	-0.658	-0.282	0.362	0.018	-0.018
40	-0.246	0.155	0.043	-4.484	-1.784	-2.926	0.064	0.115	0.014	0.003
41	0.060	-0.023	0.031	0.005	0.151	-2.502	0.003	-0.065	0.000	0.000
42	0.277	-0.130	-0.251	0.150	0.049	-4.952	-0.039	-0.127	0.000	0.000

INTERAKCIJE

1. ARG 135 – ASP 139

2. ARG 117 – ASP 122

ARG 117 – ASP 124

3. ASP 163 – LYS 121

NAJJAČE INTERAKCIJE :

1. ARG 135 – ASP 139

1 5 135 139 -26.703

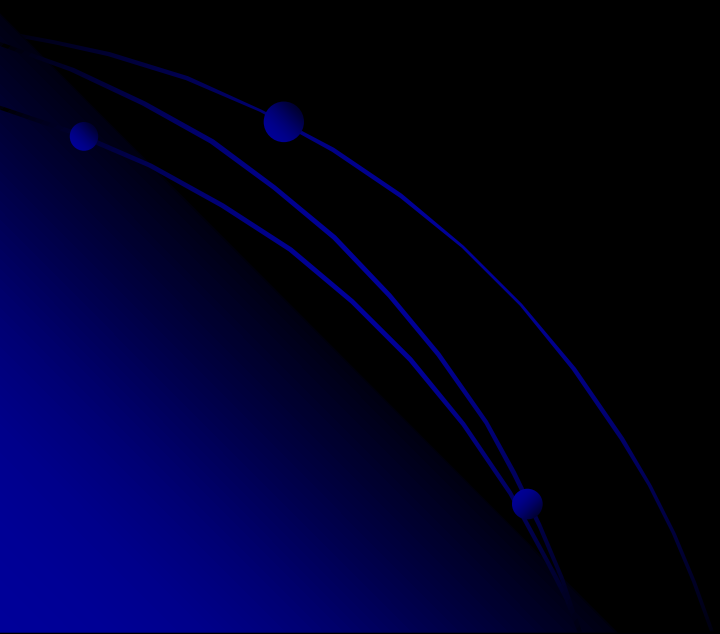
1 5 139 135 -34.414

2 4 135 139 -34.096

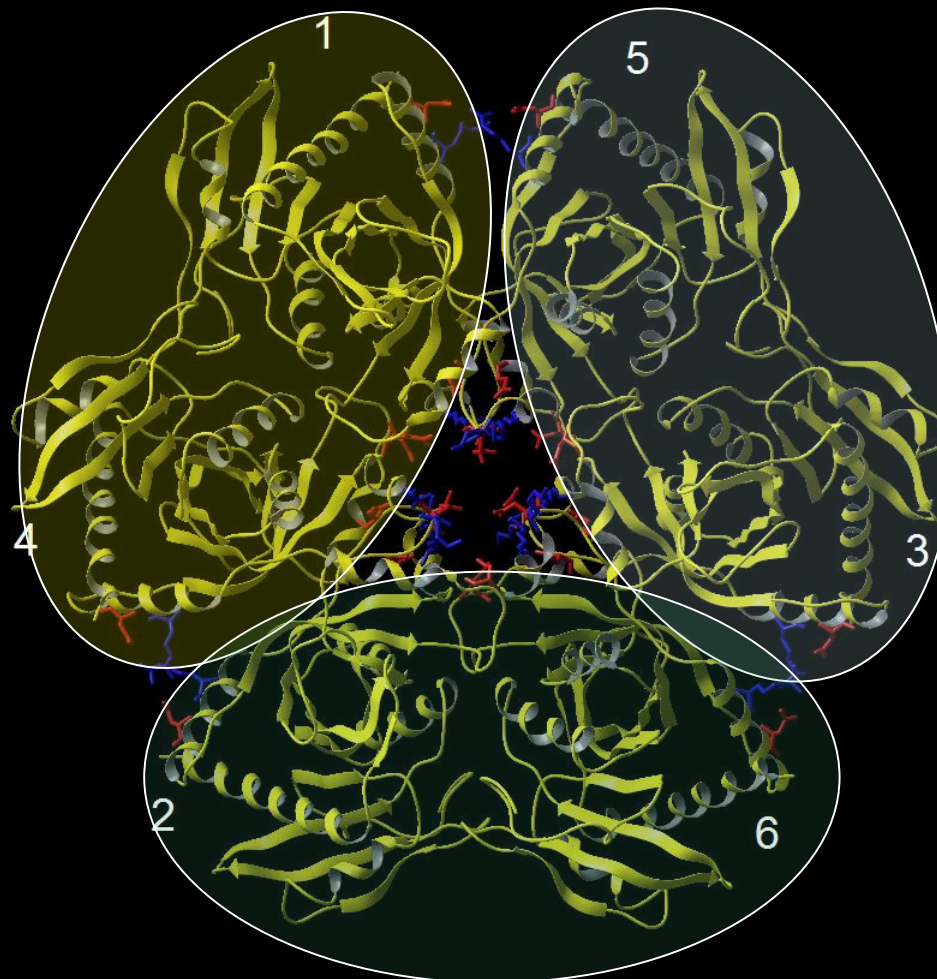
2 4 139 135 -31.687

3 6 135 139 -48.946

3 6 139 135 -47.393



PNP protein



2. ARG 117 – ASP 122

i

ARG 117 – ASP 124

1 5 117 122 -40.982

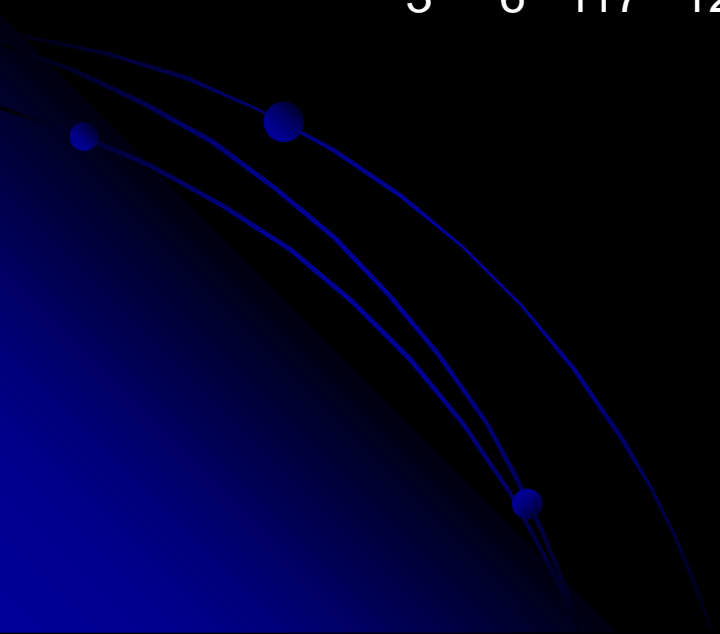
1 5 117 124 -40.610

2 4 117 122 -42.464

2 4 117 124 -32.309

3 6 117 122 -19.656

3 6 117 124 -41.324

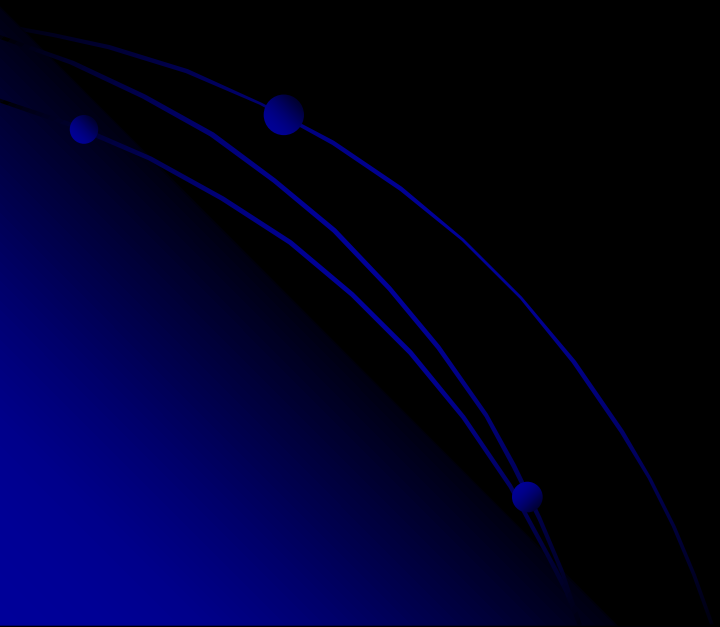


3. ASP 163 - LYS 121

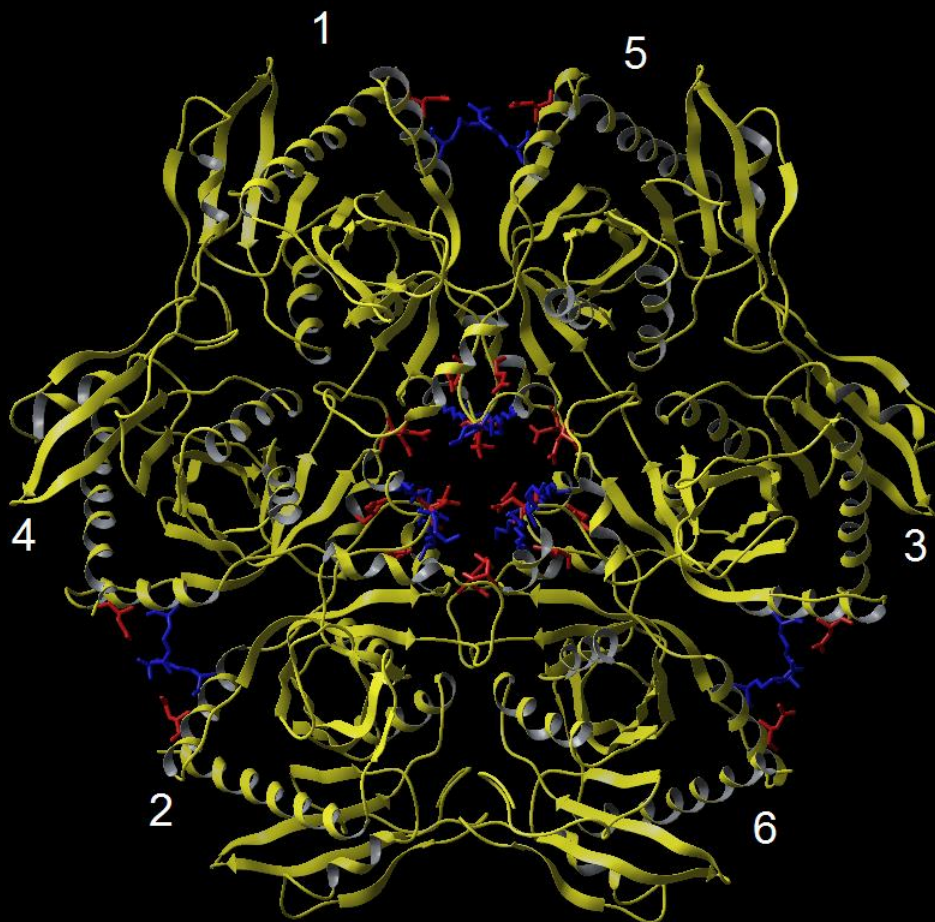
1	5	163	121	-41.492
1	5	165	121	-34.095

2	4	163	121	-36.140
2	4	165	121	-37.605

3	6	163	121	-42.927
3	6	165	121	-11.323



PNP protein



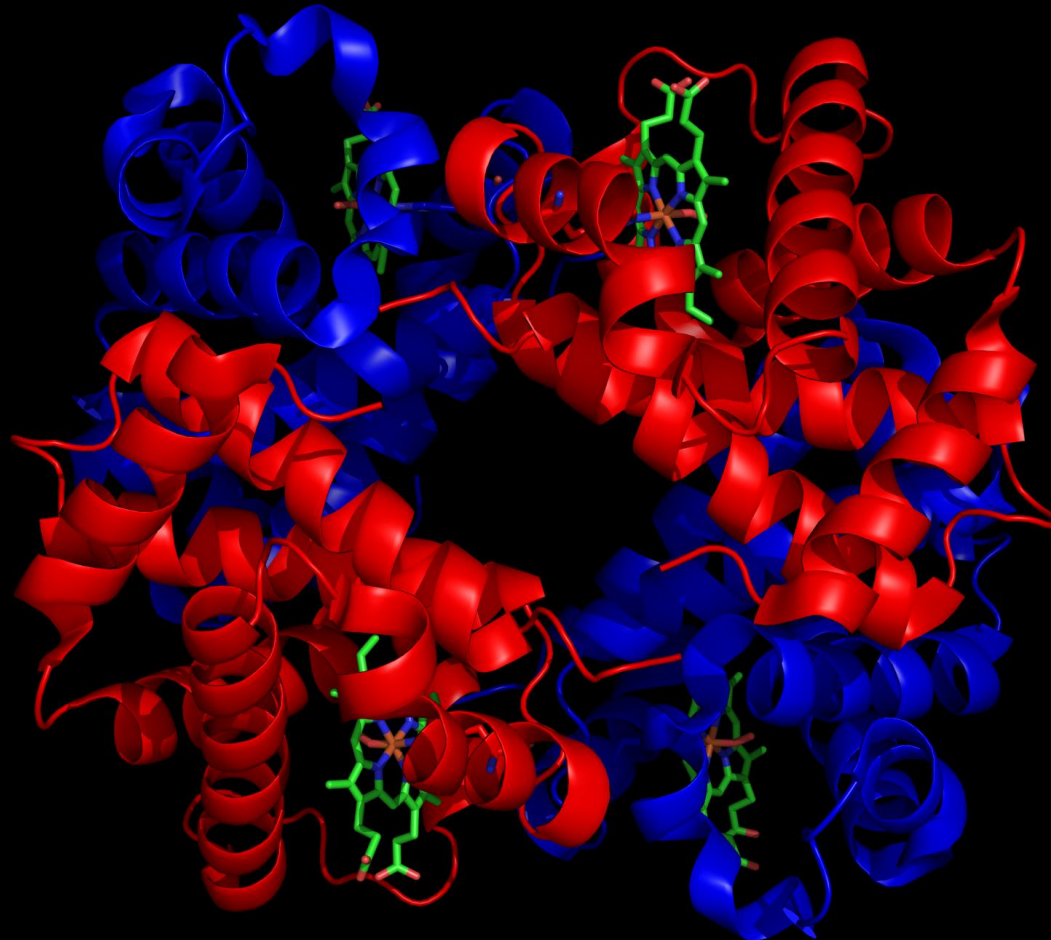
INTERAKCIJE

- 1. ARG 135– ASP 139**
- 2. ARG 117 – ASP 122 te ARG 117 – ASP 124**
- 3. ASP 163 – LYS 121**

MUTACIJE u ALA:

- 1. ASP 139**
- 2. ARG 117**
- 3. LYS 121**

kvaterna struktura



- **HEMOGLOBIN** – školski primjer globularne kvaterne strukture

- nekovalentna asocijacija više polipedinih lanaca u multimerni kompleks
- više podjedinica (ako su identične - homomultimeri, ako ne - heteromultimeri)
- broj, simetrija i odnos podjedinica definira kvaternu strukturu
- često postoji **kooperativnost** između podjedinica
- broj podjedinica je višekratnik od **2 ili 3**

određivanje kvaterne strukture:

broj podjedinica – elektroforeza i kemijske metode

aranžman podjedinica – kristalografija, elektronska mikroskopija, ...

- glavni doprinos povezivanju podjedinica u kvaterne strukture daje **hidrofobni efekt – komplementarne površine** (izvrstan “**sterički fit**”) na dodiru podjedinica među kojima se stvara mnoštvo **van der Waalsoh** interakcija između **hidrofobnih** amino kiselina

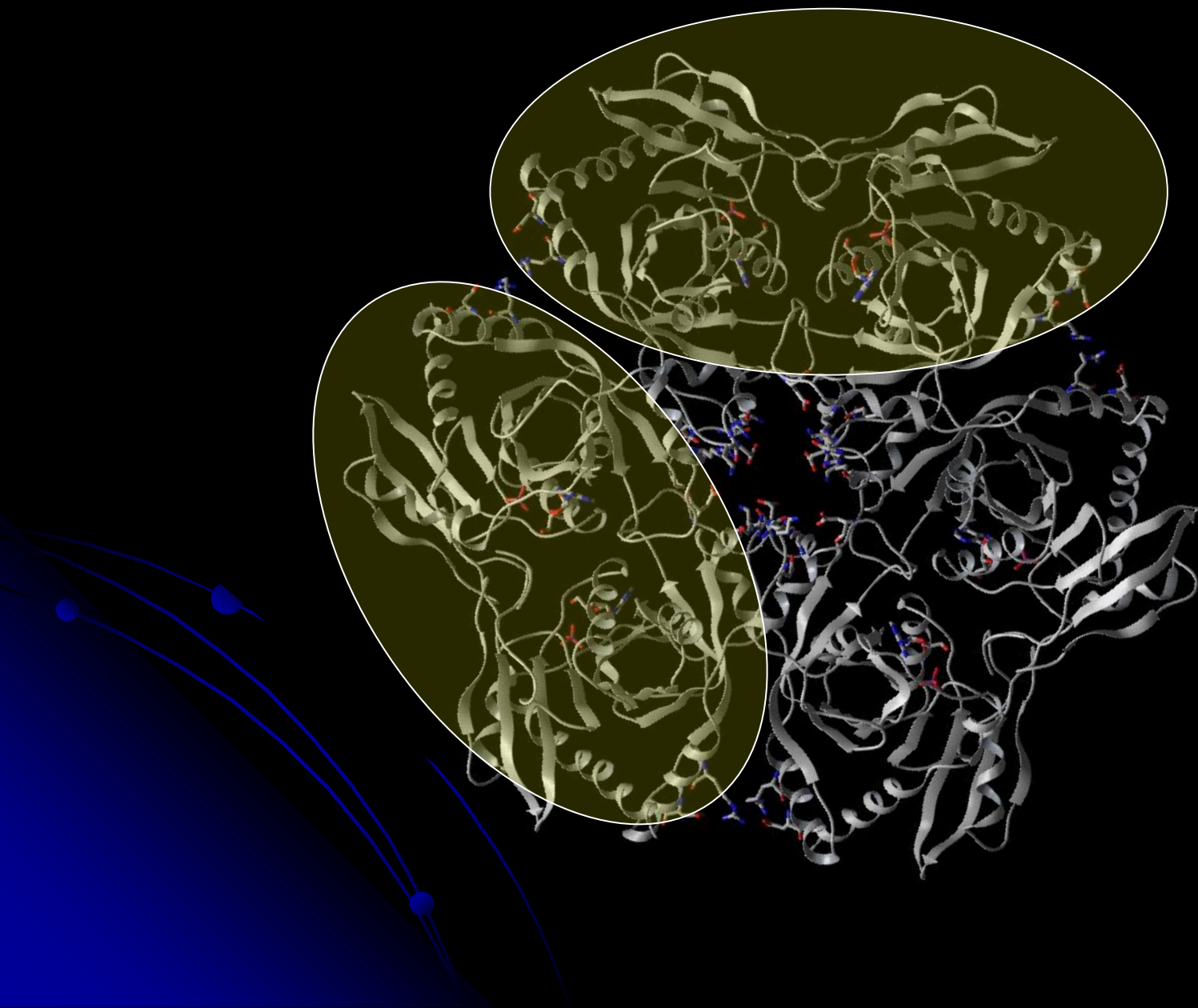
INTERAKCIJE

1. ARG 135– ASP 139
2. ARG 117 – ASP 122 te ARG 117 – ASP 124
3. ASP 163 – LYS 121

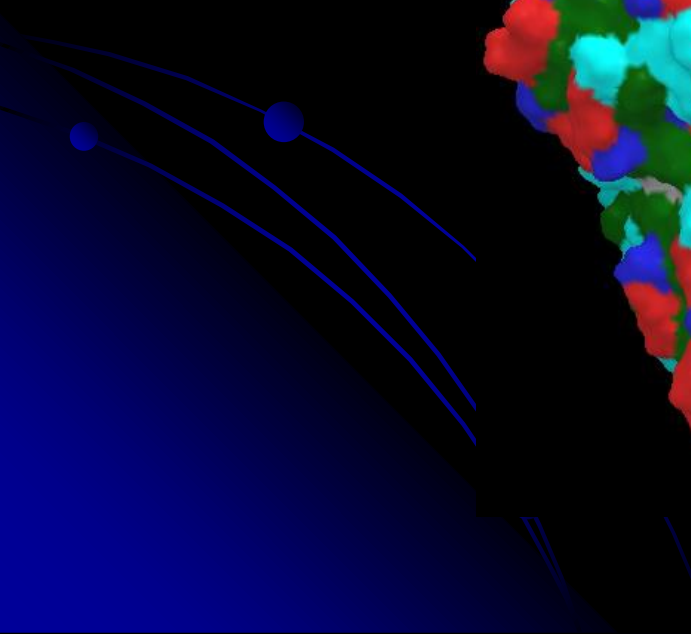
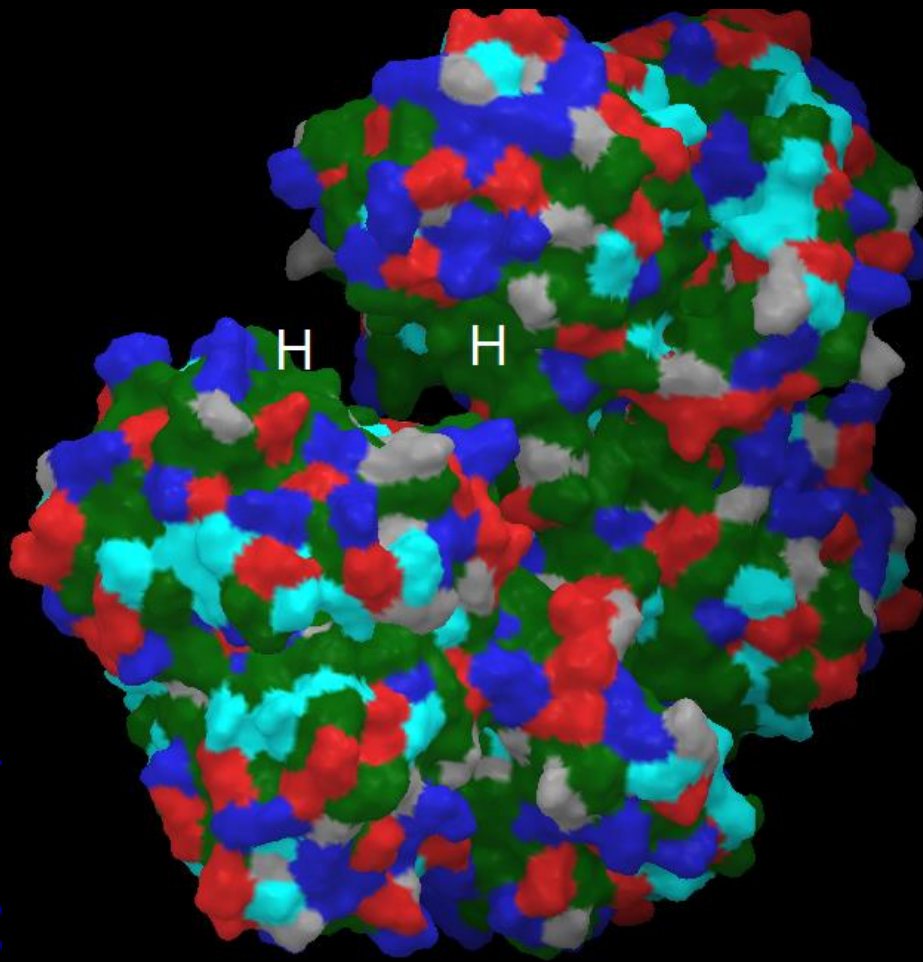
INTERAKCIJE ALA:

1. Asp 139
2. Arg 117
3. Lys 121

PNP protein



PNP protein



INTERAKCIJE

1. ARG 135– ASP 139
2. ARG 117 – ASP 122 te ARG 117 – ASP 124
3. ASP 163 – LYS 121

MUTACIJE ALA:

1. ASP 139 u ARG
2. ARG 117 u GLU

LYS 121 u GLU

MUTACIJE

1. ASP 139 u ARG
2. ARG 117 u GLU
3. LYS 121 u GLU

DOVODE DO

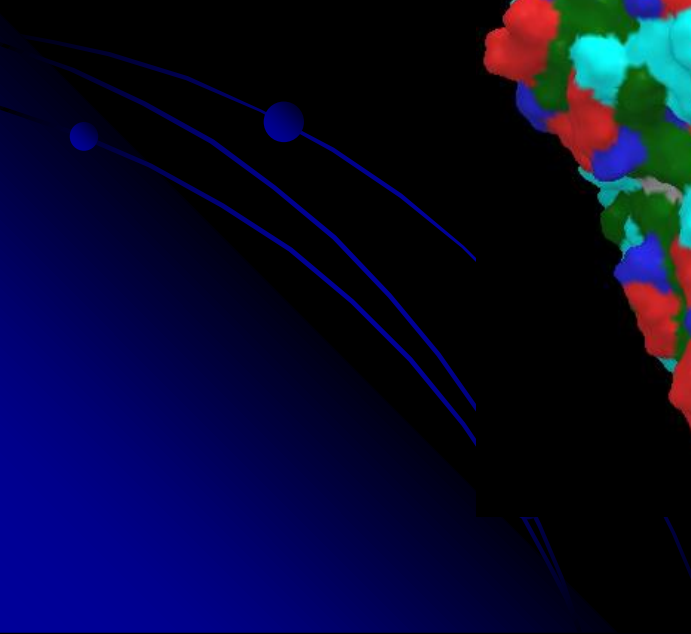
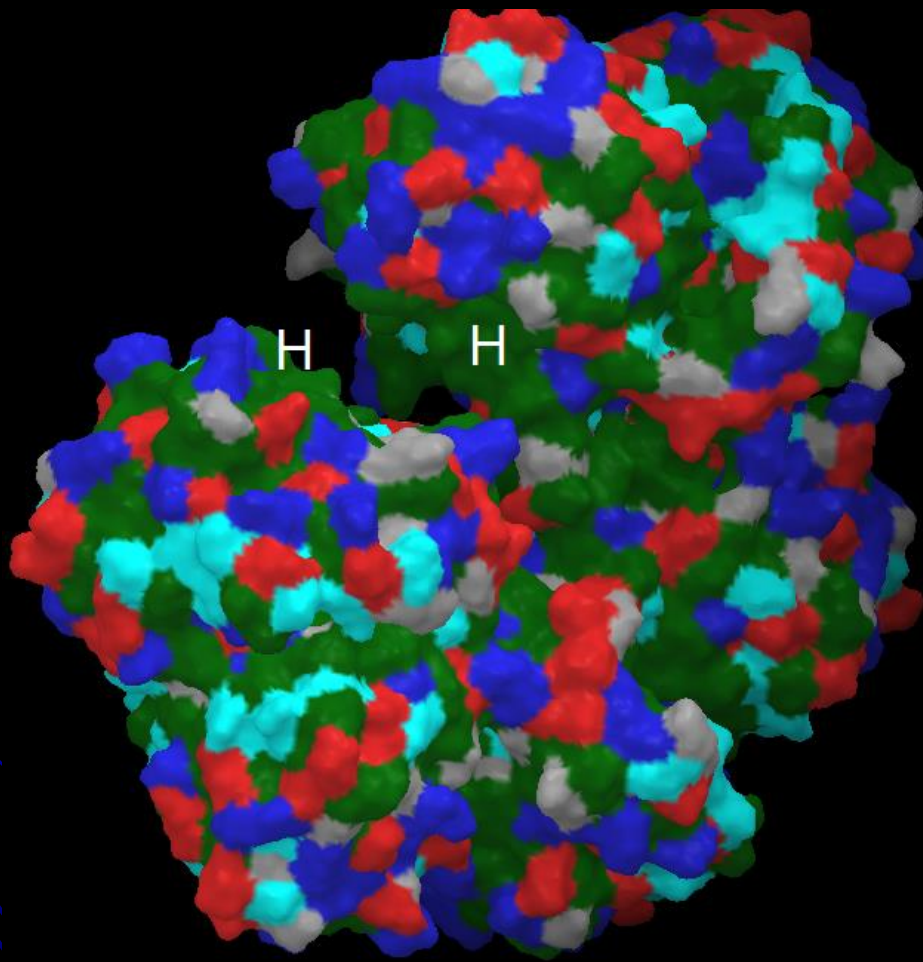
RASPADA

HEKSAMERA !

(EKSPERIMENTALNO
POTVRĐENO)

- našli smo mutacije koje uzrokuju **raspad heksamera**
- slijedeći korak: pokušati naći mutacije koje **stabiliziraju dimerni oblik u otopini**
- **MD simulacije** dimernog i heksamernog oblika divljeg tipa PNP proteina poslužile su nam da pronađemo **regije** koje najviše pridonose nestabilnosti dimera u otopini
- odabir slijedećih mutacija temeljio se na pokušaju stabilizacije tih regija

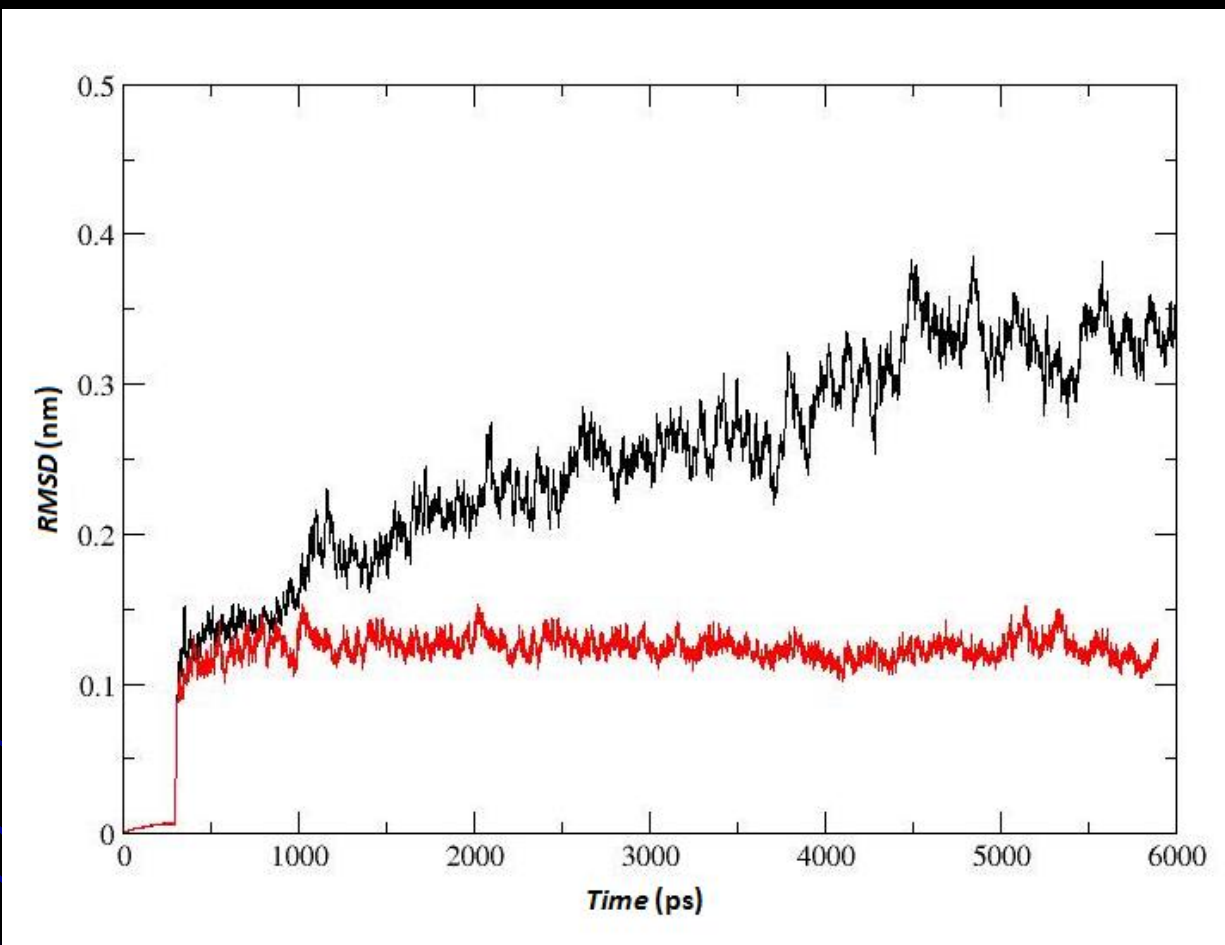
PNP protein



MD SIMULACIJE:

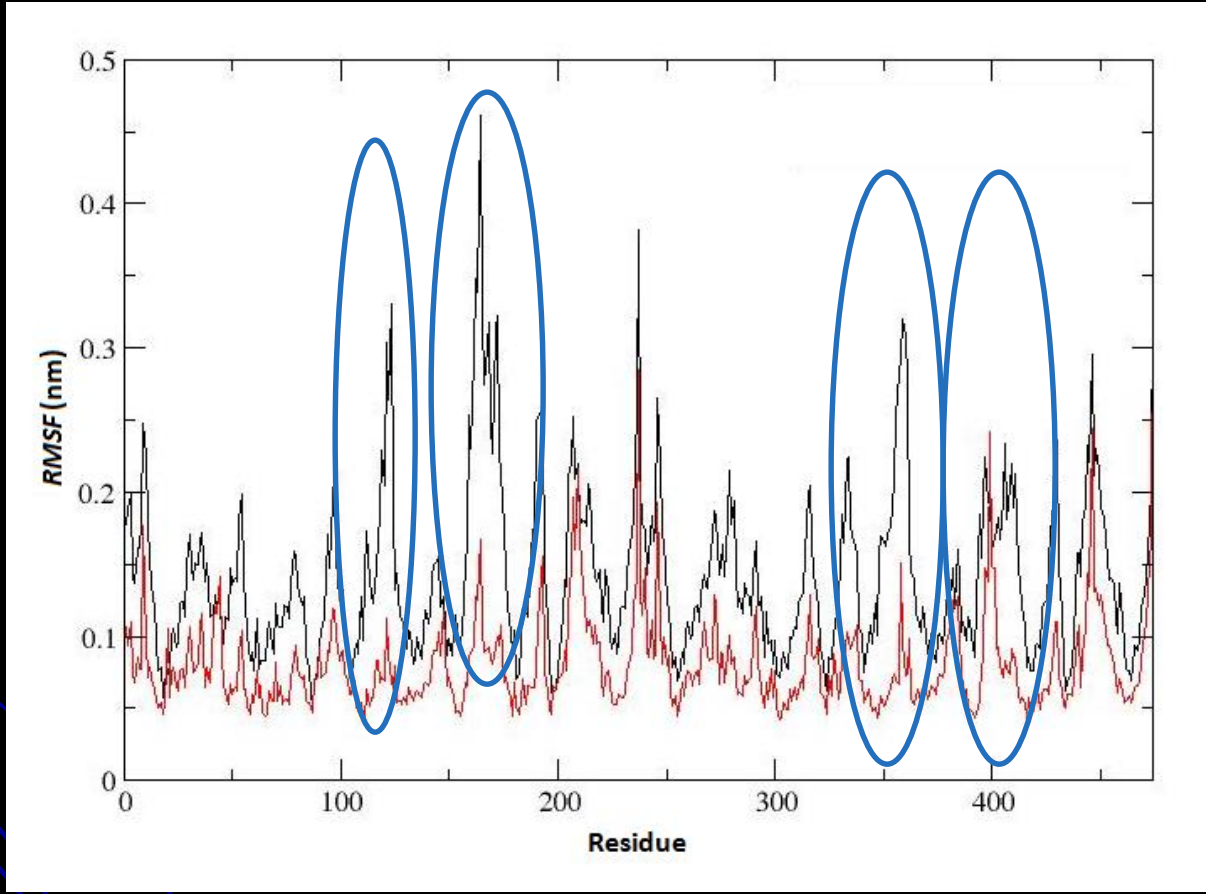
1. WT – APO HEKSAMER I DIMER
2. WT – HEKSAMER I DIMER SA “SUPSTRATIMA” (NUKLEOZID I FOSFAT)

MD SIMULACIJE: APO WT – HEKSAMER I DIMER



Apo WT– heksamer (crveno) i dimer (crno)

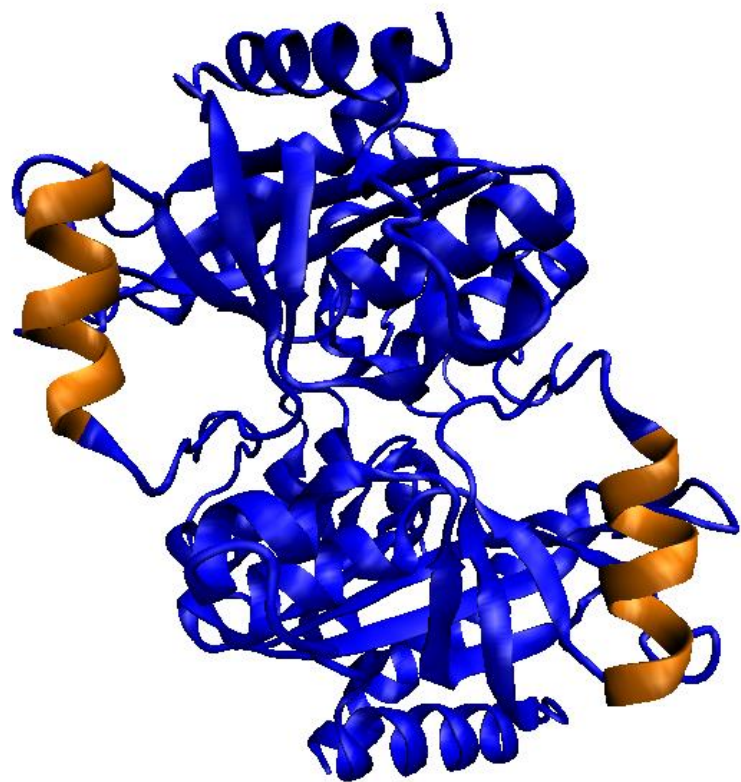
MD SIMULACIJE: APO WT – HEKSAMER I DIMER



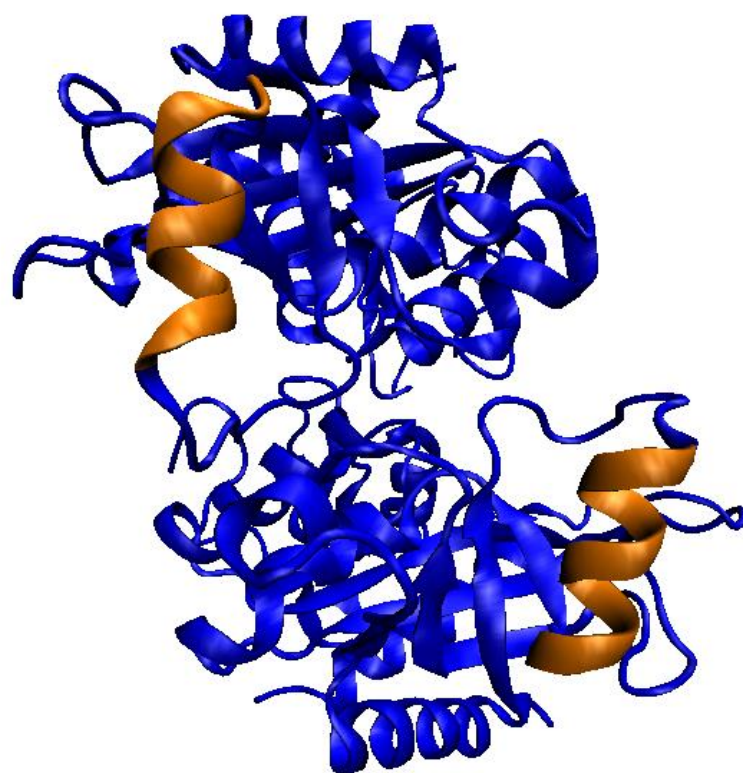
Apo WT– heksamer (crveno) i dimer (crno)

MD SIMULACIJE: APO WT DIMER

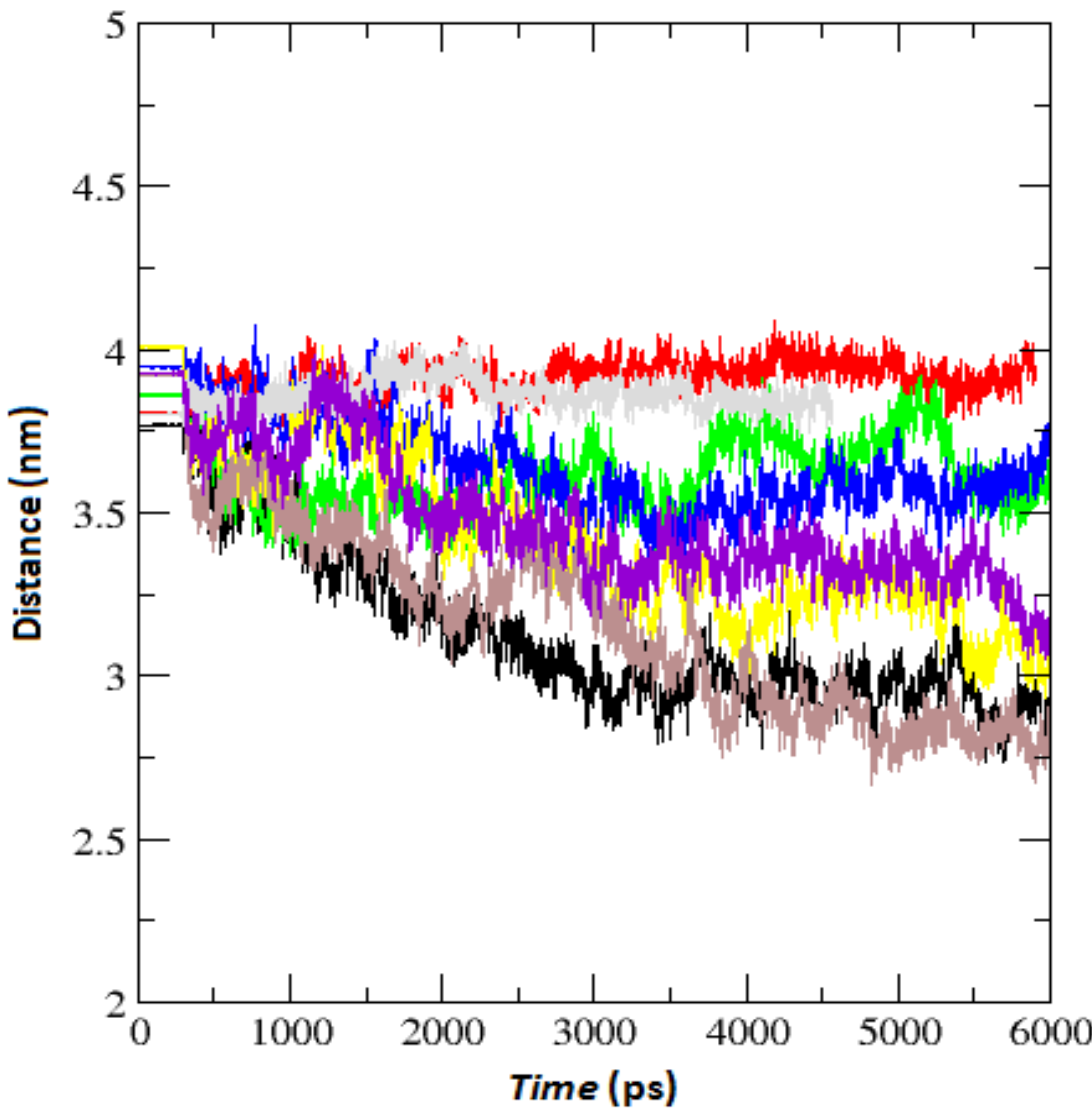
A) 0 ns



B) 6 ns

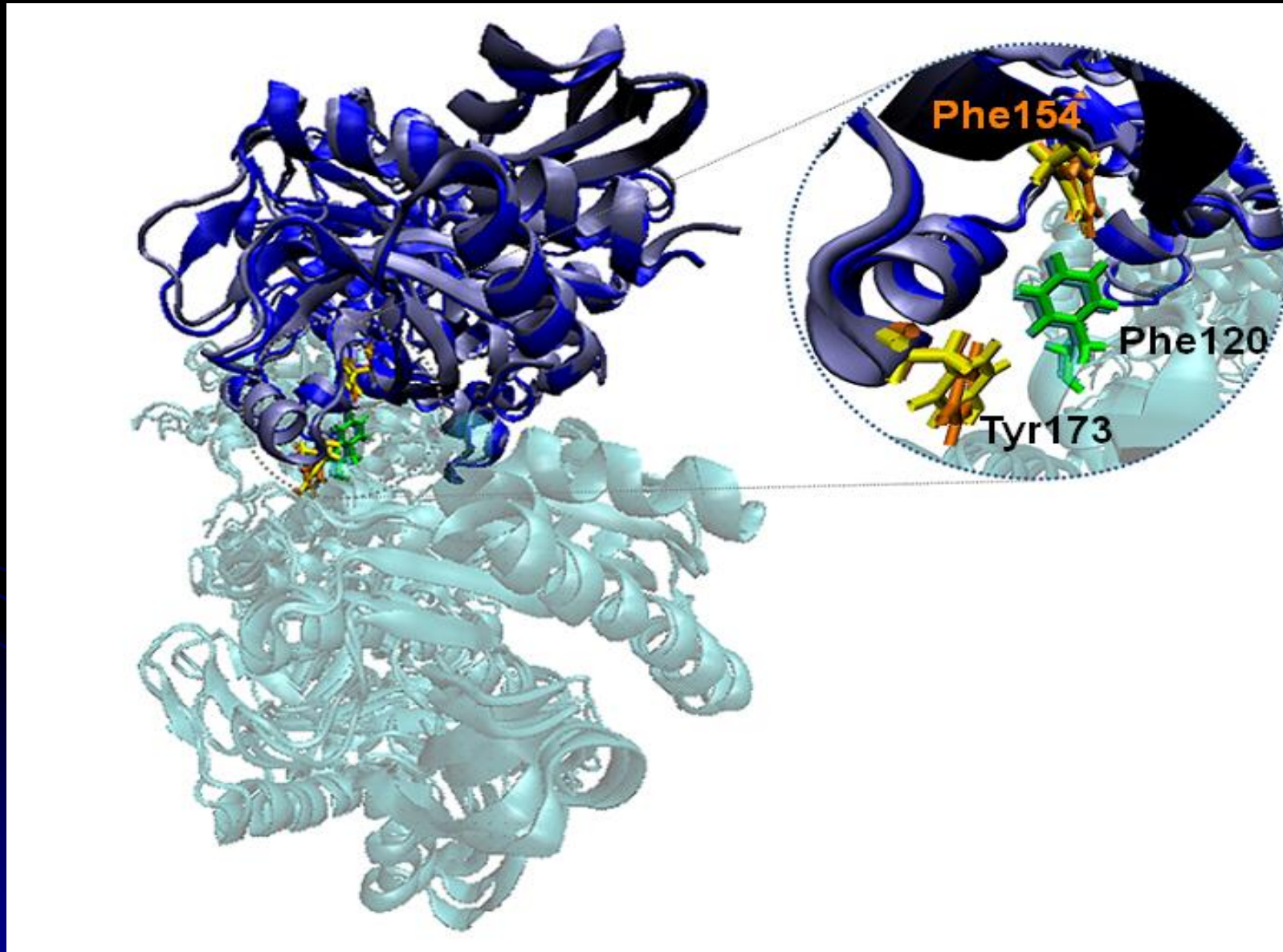


MD SIMULACIJE

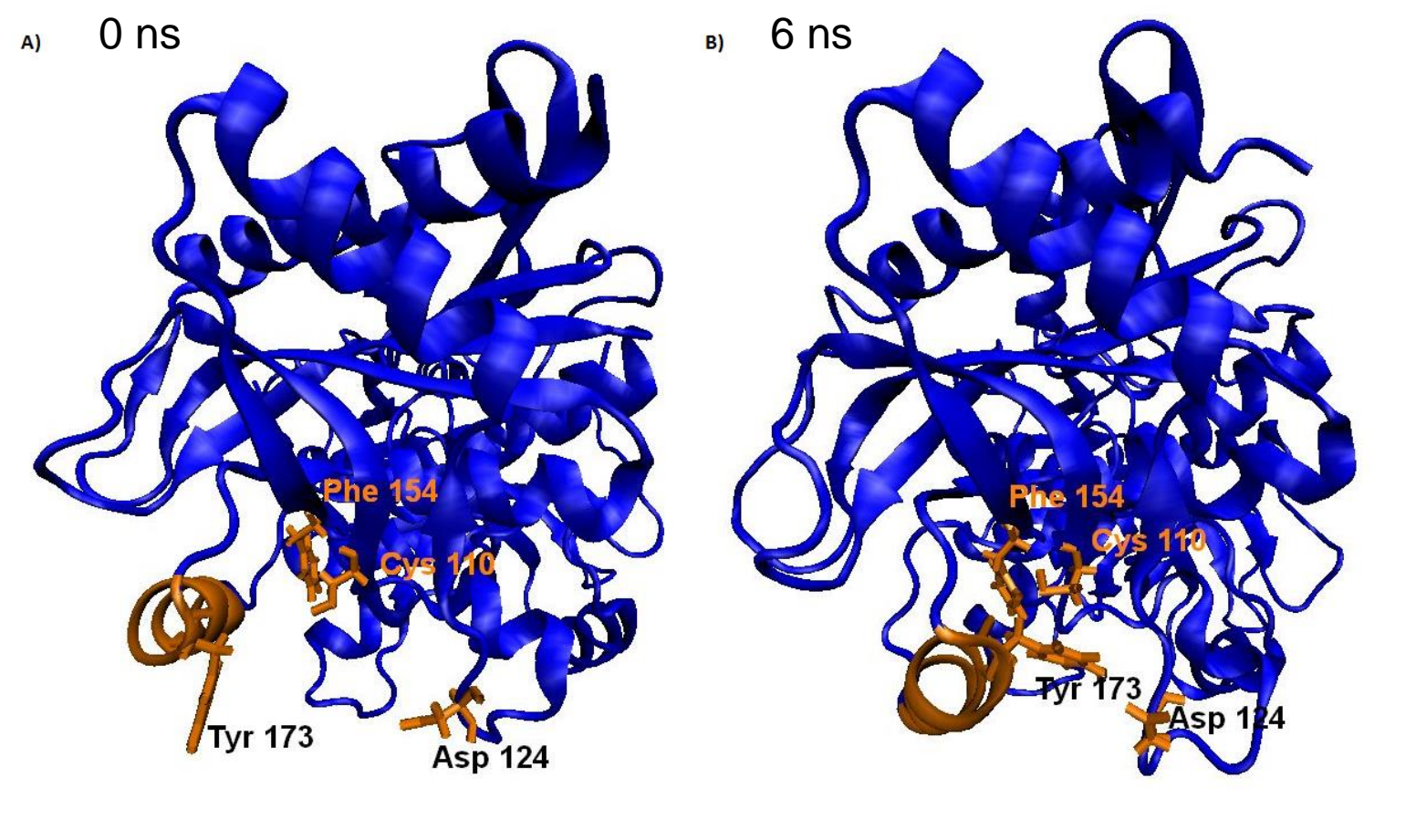


UDALJENOST CENTRA MASA HELIKSA: **APO dimer (crno)** **APO heksamer (crveno)**

U HEKSAMERU



MD SIMULACIJA: APO WT DIMER



MUTATION	VDW +ELE interactions ¹ / kcal	ΔG^2 / kcal/mol	Interface area / Å ²	N _{HB} ³	N _{SB} ⁴	Gap Index / Å	N _{mut} ⁵	List of introduced mutations
Wild type	-17177,07	-21,8	1609,7	22 (19)	11 (80)	2,01	0	-
Mutation_6	-16466,95	-20,4	1391,5	9 (9)	0 (18)	2,75	4	R117E, K121E, D139R, F120D
Mutation_16	-16823,56	-22,7	1306,4	6	0	-	4	R117E, K121E, D139R, Y173S
Mutation_20	-16724,09	-22,9	1343,5	9	1	-	4	R117E, K121E, D139R, Y173D
Mutation_13	-16422,37	-11,7	1250,4	9	0	-	6	R117E, K121E, D139R, F120D, I128S, F131G
Mutation_4	-16423,97	-13,1	1255,1	9 (9)	0 (18)	3,12	6	R117E, K121E, D139R, F120D, I128A, F131G
Mutation_23	-16842,40	-26,8	1414,2	6 (6)	0 (21)	2,40	3	R117E, K121E, D139R
Goran	-16858,43	-22,1	1409,4	19 (19)	16 (76)	2,35	4	C110A, K121A, N152A, K172A
Mutation_14	-16433,74	-13,8	1290,7	9	0	-	6	R117E, K121E, D139R, F120D, I128A, F131S
Mutation_21	-16445,14	-18,9	1297,7	8	0	-	5	R117E, K121E, D139R, F120D, F131G
Mutation_12	-16395,28	-12,7	1331,1	14 (9)	0 (23)	2,83	6	R117E, K121E, D139R, F120D, I128D, F131G
Mutation_11	-16407,71	-13,3	1119,8	8 (10)	1 (37)	3,35	7	R117E, K121E, D139R, M107D, I128A, F131S, R135D
Mutation_15	-16461,61	-13,3	1277,4	9	0	-	6	R117E, K121E, D139R, F120D, I128S, F131S

MUTATION	VDW +ELE interactions ¹ / kcal	ΔG^2 / kcal/mol	Interface area / Å ²	NHB ³	Nsb ⁴	Gap Index / Å	Nmut ⁵	List of introduced mutations
Mutation_10	-16553,98	-13,6	1120,2	10 (10)	1 (25)	3,36	7	R117E, K121E, D139R, M107S, I128A, F131S, R135D
Mutation_8	-16607,11	-14,4	1116,5	9 (10)	1 (23)	3,40	7	R117E, K121E, D139R, M107T, I128A, F131S, R135D
Mutation_5	-16654,40	-11,2	1259,9	11 (10)	0 (24)	3,08	6	R117E, K121E, D139R, F120D, I128A, F131R
Mutation_9	-16633,55	-21,6	1421,3	12 (13)	1 (27)	2,77	4	R117E, K121E, D139R, I128D
Mutation_7	-16797,36	-19,6	1144,8	9 (10)	0 (22)	3,15	6	R117E, K121E, D139R, I128A, F131G, Y173A
Mutation_2	-16805,21	-22,8	1309,7	6 (6)	0 (22)	2,68	4	R117E, K121E, D139R, I128G
Mutation_18	-16810,36	-26,3	1417,4	6	0	-	4	R117E, K121E, D139R, V169G
Mutation_19	-16881,81	-27,0	1412,9	5	0	-	4	R117E, K121E, D139R, F167S
Mutation_17	-16843,21	-25,6	1399,6	7	0	-	4	R117E, K121E, D139R, V169S
Mutation_1	-16904,17	-19,3	1372,5	12 (13)	0 (28)	2,52	4	R117E, K121E, D139R, F131R
Mutation_3	-16979,63	-21,9	1393,4	10 (10)	0 (24)	2,50	4	R117E, K121E, D139R, I128Q
Mutation_22	-17183,04	-18,9	1527,2	23	18	-	1	Y173S

MUTATION	VDW +ELE interactions ¹ / kcal	ΔG^2 / kcal/mol	Interface area / Å ²	N _{HB} ³	N _{SB} ⁴	Gap Index / Å	N _{mut} ⁵	List of introduced mutations
Wild type	-17177,07	-21,8	1609,7	22 (19)	11 (80)	2,01	0	-
Mutation_6	-16466,95	-20,4	1391,5	9 (9)	0 (18)	2,75	4	R117E, K121E, D139R, F120D
Mutation_16	-16823,56	-22,7	1306,4	6	0	-	4	R117E, K121E, D139R, Y173S
Mutation_20	-16724,09	-22,9	1343,5	9	1	-	4	R117E, K121E, D139R, Y173D
Mutation_13	-16422,37	-11,7	1250,4	9	0	-	6	R117E, K121E, D139R, F120D, I128S, F131G
Mutation_4	-16423,97	-13,1	1255,1	9 (9)	0 (18)	3,12	6	R117E, K121E, D139R, F120D, I128A, F131G
Mutation_23	-16842,40	-26,8	1414,2	6 (6)	0 (21)	2,40	3	R117E, K121E, D139R
Goran	-16858,43	-22,1	1409,4	19 (19)	16 (76)	2,35	4	C110A, K121A, N152A, K172A
Mutation_14	-16433,74	-13,8	1290,7	9	0	-	6	R117E, K121E, D139R, F120D, I128A, F131S
Mutation_21	-16445,14	-18,9	1297,7	8	0	-	5	R117E, K121E, D139R, F120D, F131G
Mutation_12	-16395,28	-12,7	1331,1	14 (9)	0 (23)	2,83	6	R117E, K121E, D139R, F120D, I128D, F131G
Mutation_11	-16407,71	-13,3	1119,8	8 (10)	1 (37)	3,35	7	R117E, K121E, D139R, M107D, I128A, F131S, R135D
Mutation_15	-16461,61	-13,3	1277,4	9	0	-	6	R117E, K121E, D139R, F120D, I128S, F131S

MD SIMULACIJE DIMERA-MUTANATA:

-mutant 23 (inicijalna mutacija)

- mutant 6

- mutant 13

- mutant 16

WT – APO DIMER I HEKSAMER

WT – AMM DIMER I HEKSAMER

In silico mutacije – MD simulacije

PNP – divlji tip

Mutant_23

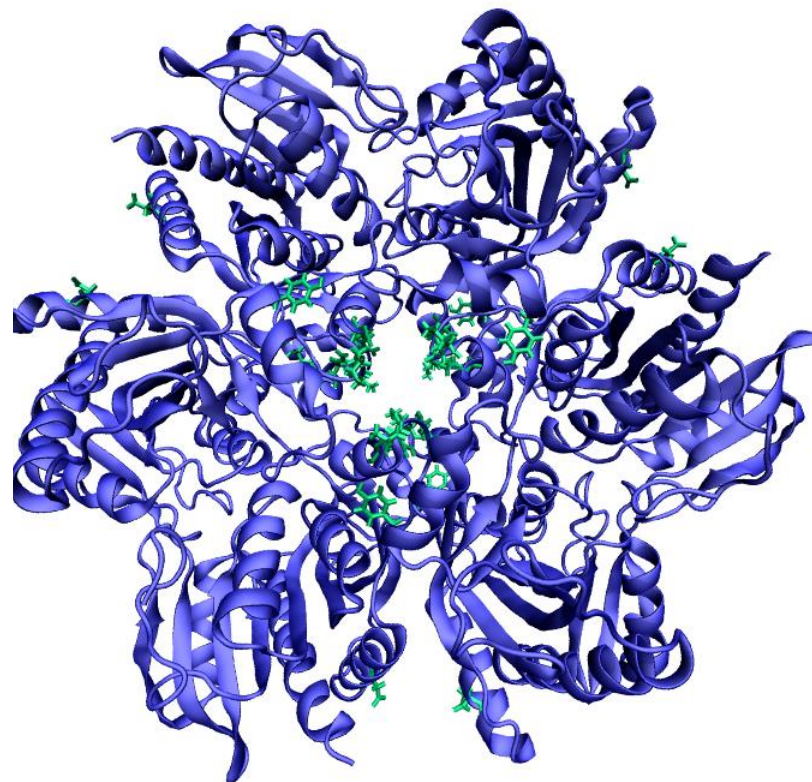
Mutant_6

Mutant_13

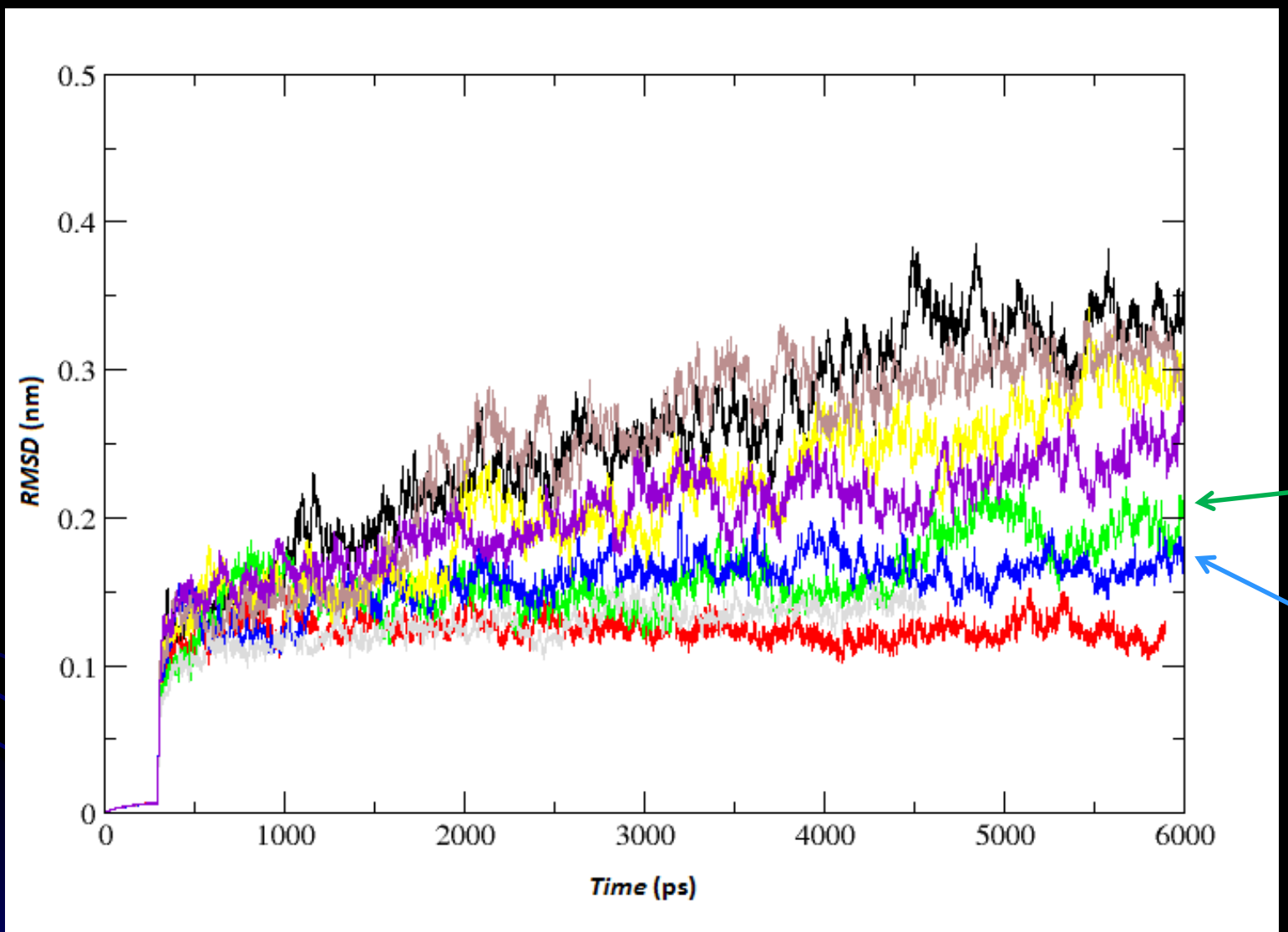
Mutant_16

Arg117Glu, Lys121Glu

Asp139Arg, Tyr173Ser

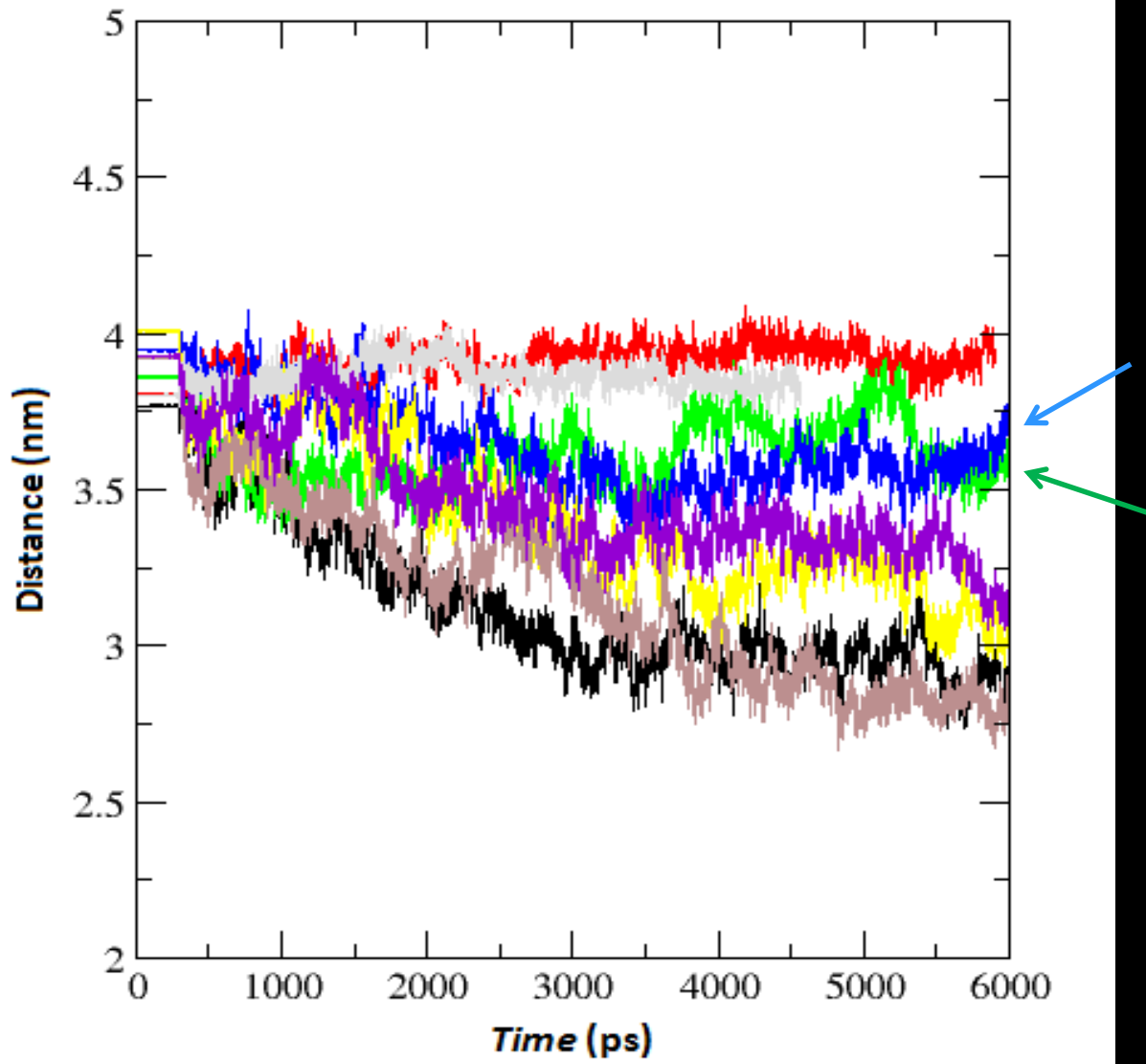


MD SIMULACIJE



RMSD backbone: **APO form of dimer, APO form of hexamer AMM form of dimer AMM form of hexamer Mutation_23 dimer Mutation_6 dimer Mutation_13 dimer Mutation_16 dimer**

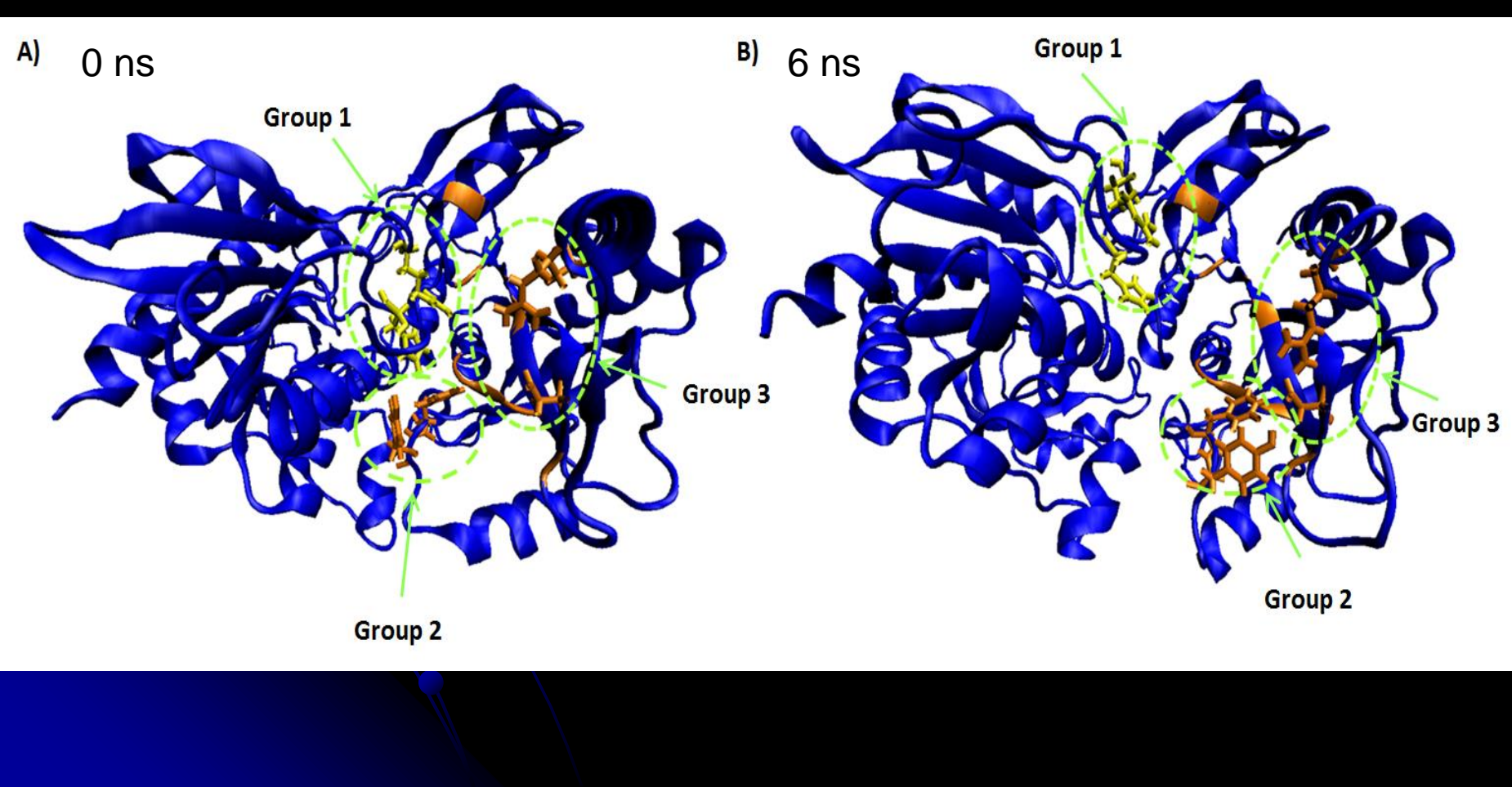
MD SIMULACIJE



UDALJENOST HELIKSA: APO form of dimer (crno) APO form of hexamer
AMM form of dimer AMM form of hexamer Mutation_23 dimer Mutation_6
dimer Mutation_13 dimer Mutation_16 dimer

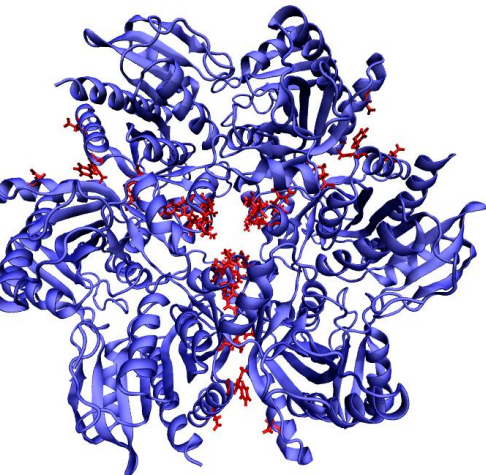
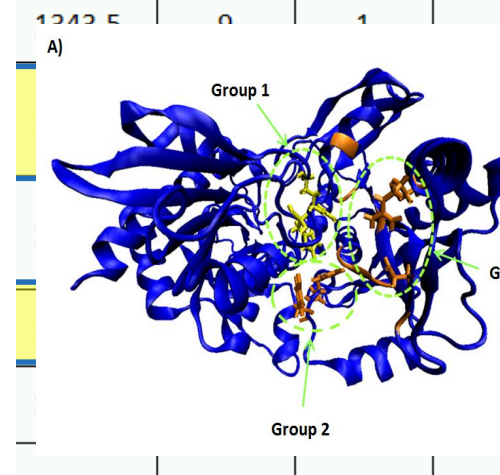
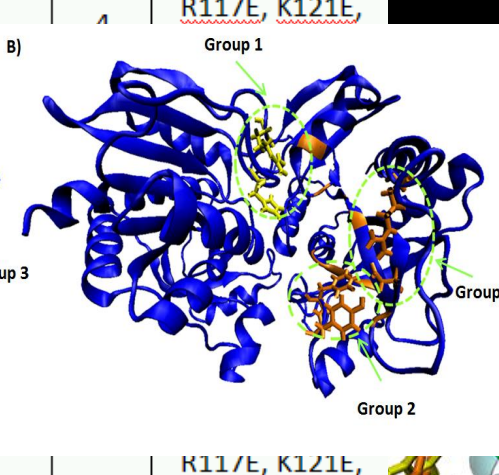
AKTIVNO MJESTO _ Mutant_13

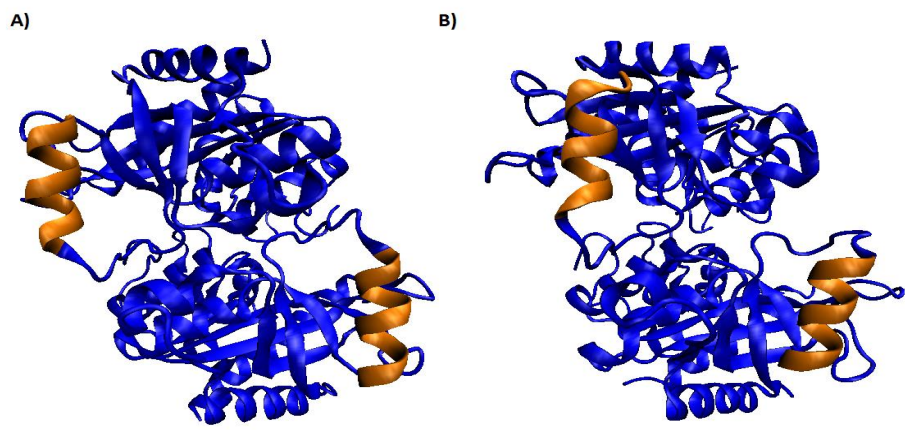
- kako bi dobili aktivni dimer, nužno je da aktivno mjesto sačuva svoju topologiju
- promjena izgleda aktivnog mjesta uočena je kod većine dimera (u većoj ili manjoj mjeri)
- prisutnost "substrata" (nukeozid i fosfor) **stabiliziraju** aktivno mjesto u dimeru!

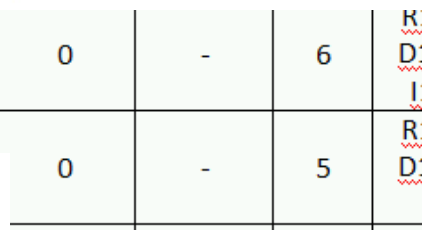


MUTATION	VDW +ELE interactions ¹ / kcal	ΔG^2 / kcal/mol	Interface area / Å ²	N _{HB} ³	N _{SB} ⁴	Gap Index / Å	N _{mut} ⁵	List of introduced mutations
Wild type	-17177,07	-21,8	1609,7	22 (19)	11 (80)	2,01	0	-
Mutation_6	-16466,95	-20,4	1391,5	9 (9)	0 (18)	2,75	4	R117E, K121E, D139R, F120D
Mutation_16	-16823,56	-22,7	1306,4	6	0	-	4	R117E, K121E, D139R, Y173S
Mutation_20	-16724,09	-22,9	1343,5	9	1	-	4	R117E, K121E, D139R, Y173D
Mutation_13	-16422,37	-11,7	1250,4	9	0	-	6	R117E, K121E, D139R, F120D, I128S, F131G
Mutation_4	-16423,97	-13,1	1255,1	9 (9)	0 (18)	3,12	6	R117E, K121E, D139R, F120D, I128A, F131G
Mutation_23	-16842,40	-26,8	1414,2	6 (6)	0 (21)	2,40	3	R117E, K121E, D139R
Goran	-16858,43	-22,1	1409,4	19 (19)	16 (76)	2,35	4	C110A, K121A, N152A, K172A
Mutation_14	-16433,74	-13,8	1290,7	9	0	-	6	R117E, K121E, D139R, F120D, I128A, F131S
Mutation_21	-16445,14	-18,9	1297,7	8	0	-	5	R117E, K121E, D139R, F120D, F131G
Mutation_12	-16395,28	-12,7	1331,1	14 (9)	0 (23)	2,83	6	R117E, K121E, D139R, F120D, I128D, F131G
Mutation_11	-16407,71	-13,3	1119,8	8 (10)	1 (37)	3,35	7	R117E, K121E, D139R, M107D, I128A, F131S, R135D
Mutation_15	-16461,61	-13,3	1277,4	9	0	-	6	R117E, K121E, D139R, F120D, I128S, F131S

MUTATION	VDW +ELE interactions ¹ / kcal	ΔG^2 / kcal/mol	Interface area / Å ²	N _{HB} ³	N _{SB} ⁴	Gap Index / Å	N _{mut} ⁵	List of introduced mutations
Wild type	-17177,07	-21,8	1609,7	22 (19)	11 (80)	2,01	0	-
Mutation 6	-16466,95	-20,4	1391,5	9 (9)	0 (18)	2,75	4	R117E, K121E, D139R, F120D
Mutation 16	-16823,56	-22,7	1306,4	6	0	-	4	R117E, K121E, D139R, Y173S

								
Mutation 14	-16433,74	-13,8	1290,7	9	0	-	6	R117E, K121E, D139R, F120D, I128A, F131S

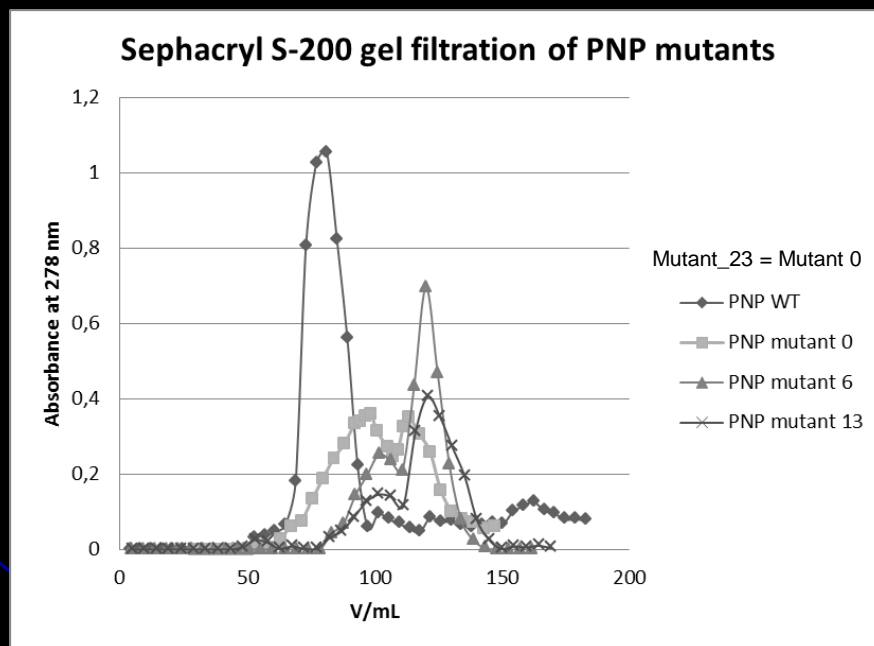


	0	-	5	R117E, K121E, D139R, F120D, F131G
0 (23)	2,83	6	R117E, K121E, D139R, F120D, I128D, F131G	
1 (37)	3,35	7	R117E, K121E, D139R, M107D, I128A, F131S, R135D	
0	-	6	R117E, K121E, D139R, F120D, I128S, F131S	

EKSPERIMENTI

Eksperimentalni rezultati: uvedene mutacije uzrokovale su raspad heksamernog oblika. Nastali dimerni oblici nisu katalitički aktivni.

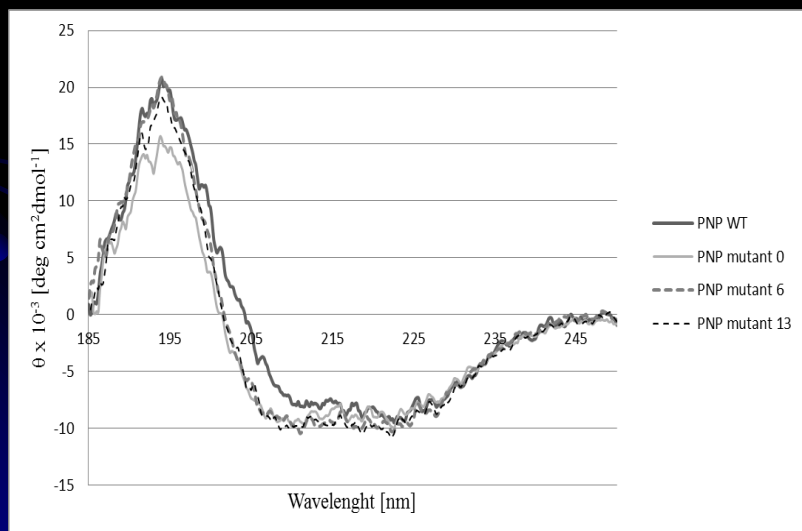
- potvrđeno eksperimentima ultracentrifuge



EKSPERIMENTI

Eksperimentalni rezultati: uvedene mutacije uzrokovale su raspad heksamernog oblika. Nastali dimerni oblici nisu katalitički aktivni.

- potvrđeno eksperimentima CD spektroskopije



	% of the whole structure			
	WT	Mutant 0	Mutant 6	Mutant 13
α -Helices	27.0	29.0	31.1	31.3
β -Strands	20.0	21.0	17.4	17.2
Turns	23.5	23.0	24.0	23.3
Loops	29.4	27.0	30.0	28.6

EKSPERIMENTI

-mjerjenje enzimske aktivnosti UV/Vis spektrofotometrijom:

NITI JEDAN MUTANT NE POKAZUJE ZNAČAJNIJU AKTIVNOST!

EKSPERIMENTI SU POTVRDILI RAČUNALNE REZULTATE

ILI

RAČUNALNI REZULTATI OMOGUĆAVAJU INTERPRETACIJU EKSPERIMENTALNIH
REZULTATA NA MOLEKULARNOJ RAZINI